

K - 5M

$\text{Ba}(\text{ClO}_3)_2 \cdot \text{H}_2\text{O}$ ;  $\text{Mg}(\text{OH})_2$ ;  $\text{K}_2\text{SnCl}_6$ ; A-1700 1865  
 $\text{MgSO}_4 \cdot 5\text{H}_2\text{O}$ ;  $\text{MgSO}_4 \cdot 7\text{H}_2\text{O}$ ;  $\text{Mn}_2\text{O}_3 \cdot \text{H}_2\text{O}$ ;  $\text{K}_2\text{Cu}(\text{ClO}_4)_2 \cdot 2\text{H}_2\text{O}$ ,  
 $\text{K}_2\text{ZnCl}_4$ ;  $\text{KMg}(\text{SO}_4)_2 \cdot 6\text{H}_2\text{O}$ ;  $\text{K}_2\text{Ni}(\text{SO}_4)_2 \cdot 6\text{H}_2\text{O}$ ;  $\text{K}_2\text{Zn}(\text{CN})_4$ ,  
 $\text{K}_2\text{Zn}(\text{SO}_4)_2 \cdot 6\text{H}_2\text{O}$ ;  $\text{KCz}(\text{SO}_4)_2 \cdot 12\text{H}_2\text{O}$ ;  $\text{Rb}_2\text{CO}_3$ ;  
 $\text{Sz}(\text{NO}_3)_2$ ;  $\text{Na}_2\text{B}_4\text{O}_7 \cdot 10\text{H}_2\text{O}$ ;  $\text{NaPO}_3$ ; (CP)

Kopp H.,

Phil. Trans. Roy. Soc. (London), 1865, 155, 71.  
Investigations of the specific heat of solid bodies.

Kennu № 584

5 OP ccr6 OP.K

1957

1416 -X-BP

K<sub>2</sub>SnCl<sub>6</sub>, K<sub>2</sub>SnBr<sub>6</sub>, Rb<sub>2</sub>SnCl<sub>6</sub>, (NH<sub>4</sub>)<sub>2</sub>SnCl<sub>6</sub> (Cp)

Morfee R.G.S., Staveley L.A.K.

Nature 1957, 180, N 4597, 1246-1248

Dependence of heat ...

PX., 1958, N 12, 38859



Be	F
E.C. -	Φ. K.

БР - 1415 - X

1958

Лок, Паркинсон, Родерикс.

K2 8ncl6 Lock J.L., Parkinson D.H. Roberts L.

Nature, 1958, 181, № 4609, 642-643

Зависимость между микроскопий

Сп. при терешковой цепочке

зависимый образца.

от грунта.

и структуры  
образца

X-18-58-60190

BEP-8462-IV

X-6482

1960

8462

$(\text{NH}_4)_2\text{SnCl}_6$ ,  $\text{Rb}_2\text{SnCl}_6$ ,  $\text{K}_2\text{SnCl}_6$ ,

$(\text{NH}_4)_2\text{SnBr}_6$ ,  $\text{Rb}_2\text{SnBr}_6$ ,  $\text{K}_2\text{SnBr}_6$  (Cp, S, Ttr)

Morice R.G.S., Goveley J.A.H.,  
Salter S.T., Wigley D.L.

J.Phys. and Chem. Solids, 1960, 15,  
N 1-2, 132-144

A heat capacity study of the ...

Be 8

BOP 75-X

1962

K<sub>2</sub>SnBr<sub>6</sub>

Thermal behavior of potassium bromostannate. E. E. Galloni, M. R. de Benyacar, and M. J. de Abeledo (Com. Nac. Energ. Atom., Buenos Aires). Z. Krist. 117, 470-2(1962)(in English). K<sub>2</sub>SnBr<sub>6</sub> is tetragonal, pseudocubic at room temp. and becomes cubic at 126.5°. The transition is reversible and "displacive" (CA 46, 2385k). The expansion coeffs. are:  $\lambda_a = 4.96 \times 10^{-5}$ ,  $\lambda_c = 5.65 \times 10^{-5}$  for the tetragonal phase between 130° and 250°. At the transition point no change of vol. occurs; this indicates a 2nd-order transition. W. Nowacki

C.A-1963. 58.13  
13225e

8196

X-512

1962

K<sub>2</sub>SnF<sub>6</sub>.H<sub>2</sub>O; (NH<sub>4</sub>)SnF<sub>6</sub>, K<sub>2</sub>(SnFOH).H<sub>2</sub>O;

SnF<sub>2</sub>, SnClF, NH<sub>4</sub>SnF<sub>3</sub>, NaF.2SnF<sub>2</sub>

(sil. post. SnF<sub>6</sub>" , SnF<sub>3</sub>" )

Kriegsmann H., Kessler G.

Z. anorgan. und allgem. Chem., 1952,

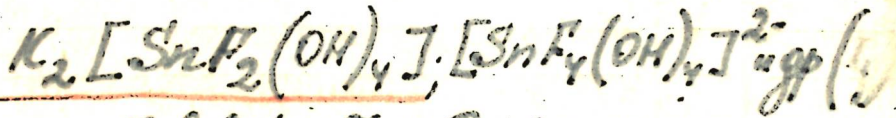
318, N 5-6, 277-286

Untersuchungen an ...

J

X-6672

1963



Kolditz L., Preiss H.

Z. anorgan. und allgem. Chem.

1963, 325, 252-274



B 8c56 f.k.

I-5970

1963

S'nlle, ice, S'nlle, Rbll, S'nlle, ice,  
2.S'nlle, bbll, 3.S'nlle, ice (OH)

Mu Yu-fa, Mofuzob U.C.

IC. neofian. mesini, 1963, 2, 403

411

H

CA, 1963, 59, v3, 2215

$\text{K}_2\text{SnCl}_6$

Морозов И.С.,  
ИИ Чех.-Фа

1963

M-689-IV

ПСХ, 8, 651

Чернушеская промышленность  
комбинат химико-минерало-  
химии К, Rb, Cs и аце-  
тилена.



$[\text{Cu}(\text{NH}_3)_2\text{SnCl}_6]\text{I}$

$KSn_2F_5$

$KSnF_3$

Donaldson J.D.,  
O'Donoghue J.D.

1964

J. chem. Soc.,  
Jan., 241-245

(Cell.  $NaSn_2F_5$ ) I

У Sn, PbSn, Cu3P, PtPb, RbPb, Os Pt  
(кристалл суп-ра) X-5316 1964

Hewaicky T. E., Burmann E.,  
Klemm W.

Z. Anorg. und allgem.  
Chem., 1964, 328, № 5-6, 283-293

ЕСТЬ Ф. К.

PX, 1965, 1152339

1964

$K_2SnO_3 \cdot H_2O$

$3K_2SnO_3 \cdot 2H_2O$

Tin(IV)-oxygen-potassium and zirconium-oxygen-potassium systems. Michel Tournoux (Fac. Sci., Bordeaux, France). *Ann. Chim. (Paris)* 9(11-12), 579-600(1964)(Fr). In the dry Sn-O-K system, 3 anhyd. phases,  $K_4SnO_4$ ,  $K_2SnO_3$ , and  $K_2Sn_2O_7$ , were isolated. Two new hydrates were prep'd.,  $K_2SnO_3 \cdot H_2O$  and  $3K_2SnO_3 \cdot 2H_2O$ . Prepn. and analysis of the compds. are described. Powder data ( $Cu K\alpha$  radiation) are given for  $K_4SnO_4$  (triclinic),  $K_2SnO_3$ , and the 2 hydrates. Single crystal studies of  $K_2SnO_3$  indicate an orthorhombic cell,  $a = 10.309$ ,  $b = 7.106$ , and  $c = 5.72$  Å.,  $Z = 4$ ,  $d = 3.89$  g./cc.,  $D_{2\text{A}}^{16} - Pmcn$ . Projections of the electron d. on (001) and (010) are shown.  $R = 0.38$  for 113 equatorial reflections observed. At. positions and interat. distances are listed. Each Sn atom is almost in the center of a deformed octahedron. Chains of octahedra, sharing a face, are parallel to the  $c$  axis. The structure is unlike that of  $Li_2SnO_3$  and  $Na_2SnO_3$ . The tristannate  $K_2Sn_3O_7$  was prep'd. by several methods and is orthorhombic,  $a = 16.807$ ,

C.A. 1965: 63.4  
3877h-3878alc

$b = 12.751$ , and  $c = 3.138$  Å.,  $d. = 5.35$  g./cc.,  $Z = 4$ . Powder data are indexed. The reaction of  $K_4SnO_4 + CO_2$  to produce  $K_2Sn_4O_9$  and  $K_2CO_3$  was studied thermogravimetrically. Powder diffraction data are listed for the reaction product mixt. The metazirconate  $K_2ZrO_3$ , the dizirconate  $K_2Zr_2O_5$  (in 2 allotropic forms), and the trizirconate  $K_2Zr_3O_7$  were isolated and their prepn. is described.  $K_2ZrO_3$  is isomorphous with  $K_2SnO_3$  with  $a = 10.32$ ,  $b = 6.97$ , and  $c = 5.70$  Å.,  $d. = 3.47$  g./cc.,  $Z = 4$ . The other 3 zirconates described can be produced by thermal degradation of  $K_2ZrO_3$ .  $\alpha K_2Zr_2O_5$  is hexagonal,  $a = 5.74$ ,  $c = 28.22$  Å.,  $d. = 4.15$  g./cc.,  $Z = 6$ . The  $\beta$ -form is orthorhombic,  $a = 10.763$ ,  $b = 8.755$ ,  $c = 5.849$  Å.,  $d. = 3.89$  g./cc.,  $Z = 4$ ,  $D_{2h}^6$ . Transformation of the 2 allotropic forms was studied (approx.  $850^\circ$ ) and found to be very slow.  $K_2Zr_3O_7$  is tetragonal,  $a = 7.01$ ,  $c = 10.30$  Å.,  $d. = 4.30$  g./cc.,  $Z = 3$ . Indexed powder data are given for these 4 compds. The  $K_2Zr_2O_5$  described by Lehmann and Enzberger (*CA* 54, 3028a) is really  $K_2Zr_3O_7$ . Dissocn. temps. for all compds. are summarized.

Carolyn Knobler

50724.2440

Ch

1105  
 $KSi_4F_5$ ,  $NaSn_2F_5$  и др. X-5871  
(Tin) ~~Магнезит~~

Donaldson J.D., O'Donogue J.D., Oteng R. 45/х  
Formation of complex tin (II) species in

molten tin (II) fluoride."J.Chem.Soc.",  
1965, June, 3876-3879

(англ.)

Есть оригинал

Б

ВИНИТИ 86г

Di ( $K_2SeBr_6$ ;  $(NH_4)_2SeBr_6$ ; X 4446/1966  
 $(NH_4)_2SeCl_6$ ;  $K_2SnCl_6$ ;  $K_2SnBr_6$ ;  
 $(NH_4)_2SnBr_6$ ;  $Cs_2SnCl_6$ ;  $(NH_4)_2TeBr_6$ ,  
 $(NH_4)_2TeCl_6$ ;  $K_2TeBr_6$ ;  $K_2TeJ_6$ )

Greenwood N.N., Strougham B.I.

J. Chem. Soc., 1966, A, N7,

962-64

10

px 1967

K-Sn,

$K_2SnCl_6$

$K_2SnBr_6$

~~некоторые  
известные~~

известные

крем.

пересечки

Brown D.H., et al <sup>1967</sup>

J. Chem. Soc.,

1967, st, n 1, 100.



(см. K-Ti) II

71027.1239  $\text{SnCl}_2$  (распар),  $\text{SnCl}_2 \cdot \text{KCl}$  1967  
Ch, Ph  $\cdot 2\text{SnCl}_2 \cdot \text{KCl}$ ; 40892 } vi  
X-5847

Clarke J. H. R., Solomons C.

Raman spectra and the structure of molten stannous ■■■ chloride and molten mixtures of stannous chloride and potassium chloride.

"J. Chem. Phys.", 1967, 47, N 5, 1823-1826

(англ.)

10

БГУ

5751 ОРИГИНАЛ

*KSnCl<sub>3</sub>* 59 X-6260 1967

2 Б650. Определение давления и состава пара в системе  $\text{SnCl}_2$ — $\text{KCl}$ . Карпенко Н. В. «Вестн. Ленингр. ун-та», 1967, № 4, 78—84 (рез. англ.)

*Kp*

Измерено общее давление насыщ. пара над расплавами системы  $\text{KCl}$ — $\text{SnCl}_2$  с содержанием 40, 50, 60 и 75 мол. %  $\text{SnCl}_2$  в интервале  $T$ - $P$  460—840°. Анализом конденсатов определен брутто-состав пара над расплавами. На основании расчета состава пара в системе сделано заключение о существовании над расплавом парообразного соединения состава  $\text{KSnCl}_3$ . На основании эксперим. данных вычислены термодинамич. характеристики процессов разложения парообразного  $\text{KSnCl}_3$  на простые и димерные  $\text{KCl}$  и  $\text{SnCl}_2$ .

Резюме

x · 1968 · 2

*SnCl<sub>2</sub>-KCl*

*sublimates*

*KSnCl<sub>3</sub>*

*P<sub>1</sub>, Cetab*

36500k Determination of vapor pressure and composition in the system  $\text{SnCl}_2\text{-KCl}$ . N. V. Karpenko. *Vestn. Leningrad. Univ.* 22(4), *Fiz. Khim.* No. 1, 78-84(1967)(Russ); cf. Li and Morozov, *CA* 59: 2215h; preceding abstr. Four mixts. with 40-75%  $\text{SnCl}_2$  were melted at 600-700° in sealed evacuated quartz ampuls. The satd. vapor pressure over these melts was measured at 460-840° and expressed by 4 empirical equations. The sublimates of KCl and  $\text{SnCl}_2$  condensed as 2 sep. rings, that of KCl, composed of well formed crystals, was situated in the immediate proximity of the four, and the other, consisting principally of  $\text{SnCl}_2$ , in the colder part of the ampul. The sublimates were analyzed for  $\text{K}^+$  and  $\text{Sn}^{2+}$  and the ratio K/Sn was caled. For the same compn. of the melt, this ratio is not a function of temp. and has a max. value at the ratio  $\text{KCl}/\text{SnCl}_2 = 1/1$  in the melt, which indicates the formation of the relatively volatile compd.  $\text{KSnCl}_3$ , analogous to the compds. found in other systems by Novikov and Tolmacheva (*CA* 64: 10428c). Aniela Klein

1967

*C.A. 1967. 67.8*

KSnJ<sub>3</sub>

БФХ-6262

1964

13 Б860. Определение давления и состава пара в системе SnJ<sub>2</sub>-KJ. Карпенко Н. В., Севастьянова Т. Н. «Вести. Ленингр. ун-та», 1967, № 10, 109-116 (рез. англ.)

Статическим методом (с помощью кварцевого манометра Бурдона) измерено давление насыщ. пара над смесями SnJ<sub>2</sub>-KJ; результаты описываются уравнениями вида  $\lg P(\text{атм}) = A - B/T$ . Над расплавами KJ-SnJ<sub>2</sub> с содержанием 40, 50, 60 и 75 мол. % SnJ<sub>2</sub> анализом конденсатов определен брутто-состав пара и рассчитаны парц. давления SnJ<sub>2</sub>, Sn<sub>2</sub>J<sub>4</sub>, KJ и K<sub>2</sub>J<sub>2</sub>. Наличие максимума на кривой «парц. давление — состав» позволяет предпола-

Х, 1968. 13

гать наличие в газовой фазе соединения  $\text{KSnJ}_3$ . Рассчитаны энталпии (ккал/моль) и энтропии (энтр. ед.) р-ций разложения:  $(\text{KSnJ}_3)_{\text{газ}} = (\text{KJ})_{\text{газ}} + (\text{SnJ}_2)_{\text{газ}}$ ,  $\Delta H = 34 \pm 2$ ,  $\Delta S^0 = 24 \pm 2$ ;  $(\text{KSnJ}_3)_{\text{газ}} = 1/2(\text{K}_2\text{J}_2)_{\text{газ}} + 1/2(\text{Sn}_2\text{J}_4)_{\text{газ}}$ .  $\Delta H_2^0 = 8 \pm 2$ ,  $\Delta S_2^0 = 2 \pm 2$ . Отсюда сделан вывод, что  $\text{KSnJ}_3$  менее устойчив в газовой фазе, чем его аналог  $\text{KSnCl}_3$ .

В. Карелин

*SnI<sub>2</sub>-KI*

BOP X-6262

*1964*

K8n $\gamma$ 3

— 76650r Determination of vapor pressure and composition in the system SnI<sub>2</sub>-KI. N. V. Karpenko and T. N. Sevast'yanova. *Vestn. Leningrad. Univ.*, 22(10), *Fiz.-Khim.*, No. 2, 109-16 (1967)(Russ). From exptl. measurements, the pressure of the satd. vapor over SnI<sub>2</sub>-KI melts contg. 25, 40, 50, 60, and 75 mole % SnI<sub>2</sub> are given by the equations:  $\log P_1 = -5140/T + 4.29$  (680-820°),  $\log P_2 = -5175/T + 4.51$  (620-820°),  $\log P_3 = -5060/T + 4.56$  (640-820°),  $\log P_4 = -5175/T + 4.93$  (620-780°), and  $\log P_5 = -4860/T + 4.82$  (590-730°), resp. The character of the isotherms of the total pressure of the vapor vs. the net compn. of the melt at 680, 698, 717, and 729°, indicates a marked interaction between KI and SnI<sub>2</sub> in the melt. The analysis of the sublimates collecting over the SnI<sub>2</sub>-KI melts in evacuated sealed quartz ampuls showed that for a chosen ratio of the sample to the condensate, the compn. of the melt

P, dH, DS

C.A. BOP · 44 · 16

practically does not vary. Also, the compn. of the sublimate over the melt of the same compn. is practically independent of the temp. The quantity of volatilized KI is not const. over melts of various compn., which indicates interaction of  $\text{SnI}_2$  with KI in the gaseous phase. The curves showing the partial pressure of KI and  $\text{K}_2\text{I}_2$  as a function of the net compn. of the sample have an extremum at 50 mole %  $\text{SnI}_2$ . This is explained only by the formation, in the gaseous phase, of the volatile complex  $\text{KSnI}_3$ . This extremum dependence at 50 mole %  $\text{SnI}_2$  is independent of the proposed compn. of  $\text{KSnI}_3$ . The thermodynamic characteristics of the processes  $\text{KSnI}_3 = \text{KI} + \text{SnI}_2$  (1) and  $(\text{KSnI}_3) = 1/2(\text{K}_2\text{I}_2) + 1/2(\text{Sn}_2\text{I}_4)$  (2) were calcd.:  $\Delta H_1^\circ$  and  $\Delta H_2^\circ$  are 34 and 8 kcal./mole, resp., and  $\Delta S_1^\circ$  and  $\Delta S_2^\circ$  24 and 2 entropy units, resp.

Jean Plamondon

$\text{Sn}(\text{CH}_2\text{C}(=\text{O})\text{COO})_2$ ;  $\text{Sn}(\text{CH}_2\text{FCOO})_2$  4 1968

$\text{Sn}(\text{CH}_2\text{Cl}_2\text{COO})_2$ ;  $\text{Sn}(\text{CHF}_2\text{COO})_2$ ;  $\text{KSn}(\text{CH}_2\text{C}(=\text{O})\text{COO})_3$  X-6009

$\text{RBSn}(\text{CH}_2\text{C}(=\text{O})\text{COO})_3$ ;  $\text{CsSn}(\text{CH}_2\text{C}(=\text{O})\text{COO})_3$ ;  $\text{NH}_4\text{Sn}(\text{CH}_2\text{C}(=\text{O})\text{COO})_3$

$\text{Ca}[\text{Sn}(\text{CH}_2\text{C}(=\text{O})\text{COO})_3]_2$ ;  $\text{Sr}[\text{Sn}(\text{CH}_2\text{C}(=\text{O})\text{COO})_3]_2$ ;  $\text{Ba}[\text{Sn}(\text{CH}_2\text{C}(=\text{O})\text{COO})_3]_2$

$\text{KSn}(\text{CH}_2\text{FCOO})_3$ ;  $\text{NH}_4\text{Sn}(\text{CH}_2\text{FCOO})_3$  ( $T_m$ )

Donaldson J.D., Telen R.

J. Chem. Soc., 1968, A, No, 2244-2248 (cont.)

The  $\text{Zn(II)}$  halogen-substituted acetates.

PHI Yunn, 1969

(4)

9B62

O

by (G)

$\Delta G^\circ_f$  ( $NaSnF_3$ ,  $Na_2SnF_4$ ,  $Na_2^+Sn_2F_5^-$  1968  
|  $KSnF_3$ )

$\Delta F^\circ$ ,  $\Delta H^\circ$  ( $SnI_2$ ,  $NaF$ ,  $NaSnF_3$ ) BP X-5927  
| ( $SnI_2$ ,  $KF$ ,  $KSnF_3$ )

A.P. ( $SnF_2$ ,  $NaSnF_3$ ,  $Na_2SnF_4$ ,  $NaF$ ,  $NaSnF_5^-$   
 $SnF_2$ ,  $KSnF_3$ , K.Y.)

Kaschie J.W., Zmbov R.F., Margrave J.L.

J. Inorg. anal. Nucl. Chem., 1968, 30, 43, 729-736

Mass Spectrometric studies at high  $T_{max}$   
temperatures. XXIII. Vapor equilibria over  
molten  $NaSnF_3$  and  $KSnF_3$

Proc. Roy. Soc., 1968, 15105

10, M,

(27)

LK-SnJ

ВФ 4366-X

1969

8 Б1175. Термографическое и рентгенографическое изучение систем  $\text{SnJ}_2$ —MJ (M—K, Rb, Cs). Севасто-

янова Т. Н., Карпенко Н. В. «Ж. неорган. химии», 1969, № 11, 3130—3133

Термографически и рентгенографически исследованы диаграммы плавкости систем  $\text{SnJ}_2$ —MJ (M—K, Rb, Cs).

Установлено наличие в тв. фазе следующих соединений:

в системе  $\text{SnJ}_2$ —KJ — никонгруэнтно плавящееся KSnJ<sub>3</sub> (т. пл. 259° C),

в системе  $\text{SnJ}_2$ —RbJ — конгруэнтно плавящиеся RbSnJ<sub>3</sub> (т. пл. 310° C) и RbSn<sub>2</sub>J<sub>5</sub> (т. пл. 284° C),

в системе  $\text{SnJ}_2$ —CsJ — конгруэнтно плавящееся CsSnJ<sub>3</sub>

(т. пл. 452° C).

Резюме

KSnJ<sub>3</sub>

m

+2

X. 1970.

8



KSw M<sub>3</sub>

K-Sn

1969

36348v Thermographic and x-ray diffraction study of  $\text{SnI}_2\text{-MI}$  (M is K, Rb, Cs) systems. Sevast'yanova, T. N.; Karpenko, N. V. (USSR). *Zh. Neorg. Khim.* 1969, 14(11), 3130-3 (Russ.). Phase diagrams of the  $\text{SnI}_2\text{-MI}$  (M = K, Rb, Cs) systems are presented. The systems form the following compds. (compd, m.p. given):  $\text{KSnI}_3$ , 259° (incongruently);  $\text{RbSnI}_3$ , 310° (congruently);  $\text{RbSn}_2\text{I}_5$ , 284°; and  $\text{CsSnI}_3$ , 452° (congruently). The formation of these compds. was confirmed by x-ray diffraction methods.

HMJR

Im

(12)

C.A. 1970

• 72.8

(X)

KBr - SnBr<sub>2</sub> (разовые)  
RbBr - SnBr<sub>2</sub> (дисперсионные) 10 1970  
CsBr - SnBr<sub>2</sub> X 4801

Бекмансов И. Н., Шургашев Е. А.,  
Ж. неорг. хим., 1970, 15, № 3, 883-5 (рус.)

Разовые дисперсионные системы браш  
и цемент (пакетные, каше, губидные,  
чесные) — браш из синева (II).

Б

ГР



БЗ/1970, № 3, № 6, 29465

X  
XIV Me Sn  $\text{Y}_{\text{O}_6}$ , Me =  $\text{NH}_4$ , K, Rb, Cs  
a, b, c.

187

X 4618

Frydrych L.

Chem. Ber., 1970, 103, 327 - 330

Darstellung und Eigenschaften der  
Alkali-Zinn (VI) hexaoxojodate (VII),

Me Sn  $\text{Y}_{\text{O}_6}$ . 8

РХ. 1970, 13847.

ЕСТЬ Ф. Н.



me.

X  $K_2\text{ZrO}_3$ ;  $K_2\text{SnO}_3$ . X 5448 1970.  
cr. str.

Gatehouse B.M., Lloyd D.Y.,  
J. Solid State Chem., 1970, 2, n3, 410-415.

The crystal structure of potassium  
metazirconate,  $K_2\text{ZrO}_3$ , and its tin  
analogue,  $K_2\text{SnO}_3$ .

px, 1971, 11B414.

Me. 8 Ⓞ

$NaSnBr_3$ ,  $KSnBr_3$  (D.H.S) 1970

Х 5112.

Карпенко Н.В.

Бесмк. Печатр. журн., 1970, №6, 74-81

Определение габитуса и соотношений  
натрия в соломинке  $SnBr_3$ - $KBr$   
и  $SnBr_3$ - $KBr$ .

ДИФФ., 1971

55953

510 510

$KSnF_3$     |A-2097|    1972

Шлойбен В.Б., Судоров Н.Н.

Вестн. АНГУ, Вып. 1, 1972,

страница; 13, №, 371.

Этимология диссертации,  
шахс - спекуляри и спрятан-  
тыми некоторыми конспи-  
цистами оторвав.

1972

$K_2SnCl_6$  бывшем Ивановского геолого-технического института

определили стандартные  
эмпайрий образование  $K_2SnCl_6$   
и  $(NH_4)_2SnCl_6$  кристаллизиро-  
вав в растворе.

ДНФ

198

Шоринчиков В. А., Васильев В. Г.,  
Васильева В. Н.

KShPlz(2)

(DM. 24662)

1973

KShPlz(2)

Бургундия,

Kp, DrH,  
DrS, DrG;

Известия Северо-Кав-  
казского Музея  
Горюхин, 1985, N1, 52-55.

$K_2SnBr_6$

1974

14 Б406. Спектры комбинационного рассеяния гексабромостанната калия. Кристаллическая структура и фазовый переход. Anthonsen Jørgen Willy. Raman investigations on potassium hexabromostannate. Crystal structure and phase transition. «Acta chem. scand.», 1974, A28, № 9, 974—978 (англ.)

( $T_{tr}$ )

Проверкой в поляризац. микроскопе и рентгенографически (прецессионный метод) показано, что  $K_2SnBr_6$  при комн. т-ре кристаллизуется в тетрагон. модификации, ф. гр.  $P42_12$ , отношение осей  $c/a=1,012$ . При т-ре  $126,5^\circ$  наблюдается фазовый переход в кубич. модификацию, ф. гр.  $Fm\bar{3}m$ . Получены поляризованные спектры КР монокристалла  $K_2SnBr_6$  при т-рах  $-178$ ,  $20$  и  $140^\circ$ . Спектры при т-ре  $140^\circ$  соответствуют правилам отбора для кубич. сингонии. Спектры при  $-178$  и  $20^\circ$  содержат несколько лишних линий, соотв-щих тетрагон. симметрии. Показано, что при т-рах ниже фазового перехода кристалл является полисинтетич. двойником, а при т-рах выше фазового перехода — истинным монокристаллом.

А. И. Гусев

X. 1975  
N14

K<sub>2</sub>SnBr<sub>6</sub>

1974.

(Ttr)

104962z Raman investigations on potassium hexabromostannate. Crystal structure and phase transition. Anthonsen, Joergen W. (Dep. Chem., Univ. Odense, Odense, Den.). *Acta Chem. Scand.*, Ser. A 1974, A28(9), 974-8 (Eng). The Raman spectra of K<sub>2</sub>SnBr<sub>6</sub> were recorded at different temps. and were in agreement with tetragonal symmetry at room temp. and cubic symmetry at 140°. Crystals of the compd. appear to be polysynthetic twins at temps. below the phase transition point and behave as single crystals at temps. above the transition point.

C. &amp. 1975. 82 n16

1974

K<sub>2</sub>SnCl<sub>6</sub>(k) Кокурин Н.Н.

дНf

"Кваз. хим. технол.  
исследований"  
сб. сб. п. к. соиск.  
заседаний совета  
канд. хим. наук"  
(актогерб)

RSh X

3

X = Cl, Br, I;

1974

Tm

3  
2  
1  
0  
-1  
-2  
-3

Вещества природы щелочного металла и заменяла на устойчивость комплексные соединения в системах  $\text{SnX}_2 - \text{MX}$

Карпенко Н. В. Свастовская Т. Н.

Приобретение собр. химии координат.  
сборки" Волг. Ч. 1. Ленингр.

ж. 1974, N 16 уч.-т, 1974, 177-204.

/ан NaSnX<sub>3</sub>; I

1974

KSnCl<sub>3</sub>

КНИГА У МЕДВЕДЕВА

Новиков И.И.Орехова С.Е.

Химия и хим.технология

вып.7, стр.12-32.Издат."Выс.

школа"1974 г.Минск.

Некоторые вопросы химии парооб  
разн.и компл.соединений.

1974

KSnBvz

КИТЛ У МЕДВЕДЕВА

Новиков И.И. Орехова С.Е.

Химия и хим. технология

вып. 7, стр. 12-32. Издат. "Выс.  
школа" 1974 г. Минск.

Некоторые вопросы хими парооб  
разн. и комл. соединений.

KSnJ<sub>3</sub>

1974

БИБЛІЯ ВІД МІСІАНА А  
ІСІДОРОВА В.І. СПРОХОДА С.Р.  
МІСІАН В.І. ВІДКРИТОРІЙ, ДЕЛ 2,  
СІД. ІДІОМ. КОМП. "ІС.ІСКОЛ" 1974 р.  
БІЛОСІРКА.  
СОТОВОЮ ВІЛЮСІ ХІЖІНІ ПЕРООБРАЗ.  
І. ІВАНІ. СОСЛІВОРІЙ.

$M_2^1 (MCl_6)$   $M = Sn, Pb$  10 1974

$M^1 = K, NH_4, Rb, Cs.$

$M_2^1 [TeX_6]$   $X = Cl, Br$   $\bar{x} 8526$

(авт. ном., среднекв. ампл. колеб.)

Srivastava B.B., Dublish S.K.,

Pandey A.N.,

Z. Naturforsch., т 1974, 29 (4),

602-4.

Force constant and mean amplitudes  
[] (авт. на обложке)

C.A. 1974, 81 N6, 31296c 10

41021.8702

TC, Ch

40534 02

1974

BP-X-8744 K<sub>2</sub>SnCl<sub>6</sub>(s) (4Hf) 44-6969Welsh W.A., Brill T.B., Thompson P.T.,  
Wood R.H., Gearhart R.C.Thermochemical bond energies and chlorine-  
35 nuclear quadrupole resonance spectra  
of GeCl<sup>2-</sup>, SnCl<sup>2-</sup>, and PbCl<sup>2-</sup> ions.  
6            6            6

"Inorg. Chem.", 1974, 13, N 8, 1797-1801

(см BeCl<sub>6</sub><sup>2-</sup>; ")(англ.)

0216 ник

202 203 208

ВИНИТИ

Он. 04972

1975

 $K_3SnF_7$ ,  $K_2SnF_6$ 

11 Б1120. Изучение систем  $MF - SnF_4$  ( $M = Li, Na, K$ ). Sabatier René, Hébrard Anne-Marie, Cousseins Jean-Claude. Contribution à l'étude des systèmes  $MF - SnF_4$  ( $M = Li, Na, K$ ). «C. r. Acad. sci.», 1975, C281, № 21, 873—876 (франц.; рез. англ.)

 $T_m$ ,  $T_{tx}$ 

Методами ДТА и рентгенофазового анализа изучены системы  $MF - SnF_4$  ( $M = Li, Na, K$  (I)). Построена фазовая диаграмма системы  $KF - SnF_4$ . I. Твердофазным методом получены соединения:  $K_3SnF_7$  ( $328^\circ$  пер — полиморф. переход,  $750^\circ$  пл — плавление без разл.),  $M_2SnF_6$  ( $285^\circ$  пер,  $635^\circ$  пер,  $840^\circ$  пл (I)),  $K_3Sn_2F_{11}$  ( $585^\circ$  р — разл. в тв. фазе),  $MSnF_5$  ( $310^\circ$  р I),  $MSn_2F_9$  ( $350^\circ$  р I). Приведены рентгенограммы некоторых соединений.

Ю. А. Великодный

x 1976 N 11

 $Li_xSnF_6$  $Na_xSnF_6$  $K_2SnF_6$ 

(+) 2

 $T_m, T_{tx}$ 

# KF-SnF<sub>4</sub> (gaz. quaz.)

1975

K<sub>2</sub>SnF<sub>7</sub>

K<sub>2</sub>SnF<sub>6</sub>

K<sub>3</sub>Sn<sub>2</sub>F<sub>11</sub>

(T<sub>m</sub>)

84: 50478s System MF-tin(IV) fluoride (M = lithium, sodium, potassium). Sabatier, Rene; Hebrard, Anne M.; Cousseins, Jean C. (Lab. Chim. Miner. III, Univ. Clermont-Ferrand, Aubiere, Fr.). *C. R. Hebd. Seances Acad. Sci., Ser. C* 1975, 281(21), 873-6 (Fr). The phase diagram of the KF-SnF<sub>4</sub> system was detd. by DTA and x-ray diffraction methods. The new fluorostannates, K<sub>3</sub>SnF<sub>7</sub>, K<sub>3</sub>Sn<sub>2</sub>F<sub>11</sub>, KSnF<sub>6</sub>, and KSn<sub>2</sub>F<sub>9</sub>, were obsd. Evidence for formation of MSnF<sub>5</sub> and MSn<sub>2</sub>F<sub>9</sub> (M = K, Na, Li) is discussed. Eutectics occur at SnF<sub>4</sub> 17.5, 32.1, and 47.2 mole % (in the KF-SnF<sub>4</sub> system) and 712, 700, and 375°, resp. Decompn. temps. of KSnF<sub>6</sub> and KSn<sub>2</sub>F<sub>9</sub> are 310 and 350°, resp., while K<sub>3</sub>SnF<sub>7</sub>, K<sub>2</sub>SnF<sub>6</sub>, and K<sub>3</sub>Sn<sub>2</sub>F<sub>11</sub> congruently m. 750, 840, 585°, resp.

(+) (gaz. quaz.)

☒

C.A. 1976 84 n 8

# K<sub>2</sub>[SnCl<sub>6</sub>]

1975

85: 102594u Measurements of phase transitions in potassium hexachlorostannate(IV) and related systems using dielectric properties. Winter, J.; Roessler, K. (Inst. Nuklearchem., Kernforschungsanlage Juelich G.m.b.H., Juelich, Ger.). Report 1975, AED-Conf-75-056-105, 6 pp. (Ger). Avail. INIS. From INIS Atomindex 1976, 7(9), Abstr. No. 238389. Phase transitions in crystals such as K<sub>2</sub>[SnCl<sub>6</sub>] are linked with rotation movements of the SnCl<sub>6</sub> octahedron. Small concns. of distorted octahedra with permanent dipole moment enable a direct observation of the rotation using elec. cond. and dipole orientation measurements in the 4-500° K region. These defect octahedrons acting as indicators can be specifically prep'd. by partial substitution (SnCl<sub>5</sub>X) or removal of a ligand (SnCl<sub>5</sub>||). Shape and temp. dependence of the current curves brought about by the orientation of the dipoles give information on the dynamics of the phase transitions as well as on the influence of the lattice deformation due to the defect octahedron.

(Tr)

C.R. 1976 85 v14

K<sub>2</sub>SnCl<sub>6</sub>

1976

86: 63797m X-ray and neutron investigations of the phase instabilities in potassium hexachlorostannate(IV). Boysen, H.; Ihringer, J.; Prandl, W.; Yelon, W. (Universitaetsinst. Kristallogr. Mineral., Munich, Ger.). *Solid State Commun.* 1976, 20(10), 1019-24 (Eng). From x-ray and neutron diffraction of single crystals and powders, 2 phase transitions at  $T_{c1} = 260.5 \pm 1$  K and at  $T_{c2} = 255 \pm 1$  K were found. The transition at  $T_{c1}$  is characterised by the occurrence of superstructure reflections breaking the fcc translational symmetry, whereas the 2nd one at  $T_{c2}$  is indicated by a monoclin. lattice distortion without any further loss of translational symmetry. Both transitions can be explained by the softening of optical branches at the  $X$ - and the  $\Gamma$ -point of the Brillouin zone, corresponding to librations of the  $\text{SnCl}_6$ -octahedra. Evidence for this low energy phonon branch is offered from the observation of diffuse streaks with x-rays and from their inelastic nature as revealed by the neutron triple-axes technique.

C.A. 1974. 86. N10

$K_2SnO_3$

Delmas Claesde

1976

enphytin.

nu bicor.

gaki!

"J. Solid State Chem."

1976, 19, N1, 87-94 (area)

(are  $K_2ZrO_3$ ; I)

K<sub>2</sub>SnCl<sub>6</sub>

1976  
BX-202

87: 192241v Structural phase transitions in dipotassium hexachlorostannate(IV). Pelzl, J.; Henkel, W.; Winter, J.; Roessler, K. (Inst. Experimentalphys., Bochum, Ger.). *Proc. Int. Conf. Raman Spectrosc.*, 5th 1976, 620-1 (Eng). Edited by Schmid, Eduard D.; Brandmueller, J.; Kiefer, W. Hans Ferdinand Schulz Verlag: Freiburg/Br., Ger. The phase transitions in K<sub>2</sub>SnCl<sub>6</sub> at 77-300 K were studied by birefringence and Raman measurements. A ferrodistortive transformation from a cubic to tetragonal structure occurs at 262 K followed by an antiferrodistortive transition at 253 K to a lower symmetry structure. The SnCl<sub>6</sub> octahedron relaxes at the transitions.

FZ

C.A. 1984, 84, N24

$K_2[SnCl_6]$

1976

5 Б989. Структурные фазовые превращения в  
 $K_2[SnCl_6]$ . Pelzl J., Henkel W., Winter J., Röss-  
тер K. Structural phase transitions in  $K_2SnCl_6$ . «Proc.  
5th Int. Conf. Raman Spectrosc., Freiburg, 1976». Frei-  
burg—Breisgau, 1976, 620—621 (англ.)

(Tt)

В интервале т-р от 77 до 300° К с помощью изуче-  
ния КР и двойного лучепреломления исследованы фа-  
зовые превращения в монокрист. кубич.  $K_2[SnCl_6]$ ,  
превращающемся при  $T_1=262$  и  $T_2=253$  К в тетрагон.  
модификации. Выше  $T_1$  обнаружено три линии, обус-  
ловленные внутренними колебательными модами, и

Х. 1977 № 5

одна линия внешней моды  $\Gamma_5^+$ . Ниже  $T_1$  в интервале низких энергий появляются четыре добавочных линии внешних мод, возникающие из фона. Две из мод  $\Gamma_4^+$  и  $X_4^+$  проявляют типичное мягкофононное поведение. Предположено, что переход кубич.-терагон. при  $T_1$  сегнетоэлектрич. типа, а переход при  $T_2$  антисегнетоэлектрического. Небольшой частотный сдвиг внутренних колебаний решетки, нарушения в ширине линий и данные ЯГР указывают на релаксацию октаэдров  $[SnCl_6]$ , влияющую на фазовый переход. Отмечено, что т-ра превращения в ряду  $K_2[MeCl_6]$  монотонно возрастает с уменьшением стабилизации поля центрального металла в лиганде.

Г. Л. Апарников

*K<sub>2</sub>SnCl<sub>6</sub>*

1976

2 E740. Структурные фазовые переходы в K<sub>2</sub>SnCl<sub>6</sub>  
Pelzl J., Henkel W., Winter J., Rössler K.  
Structural phase transitions in K<sub>2</sub>SnCl<sub>6</sub>. «Proc. 5th Int.  
Conf. Raman Spectrosc., Freiburg, 1976». Freiburg—  
Breisgau, 1976, 620—621 (англ.)

*фазов.,  
переход  
(Ter)*

Для выяснения природы фазовых превращений в K<sub>2</sub>SnCl<sub>6</sub> при  $T_1=262^\circ\text{K}$  и  $T_2=253^\circ\text{K}$  исследованы в интервале  $\tau$ -р  $77$ — $300^\circ\text{K}$  спектры КР и двупреломление. Установлено, что при  $T_1$  происходит переход из кубич. фазы в тетрагональную, а при  $T_2$  — другой переход в фазу с более низкой симметрией. Превращения сопровождаются конденсацией вращательных решеточных мод в точках  $\Gamma_4^+$  и  $X_4^+$ , соответственно. Превращение при  $T_1$  связано с релаксацией октаэдрич. групп  $[\text{SnCl}]_6$ , что свидетельствует о важной роли этих комплексов в кристаллографии перехода.

Б. Г. Алапин

Ф 1977 №2

X-9742

1976

K<sub>2</sub>SnCl<sub>6</sub> (Ttr)

Winter J., Rössler K., Bolz J.,

Pelzl J.

Phys. status solidi,

1976, 74, n1, 193-198



5

Prax, 1976, 185652

$K_2(SnCl_6)$

1976

9 Б506. Применение мессбауэровских экспериментов на  $Sn^{119}$  к изучению вопроса об искажении анионного октаэдра в  $K_2[SnCl_6]$ . Winter J., Rössler K.  $^{119}Sn$ -Mössbauerexperimente zum Problem der Verzerrung der Anionenoktaeder in  $K_2[SnCl_6]$ . «Ber. Kernforschungsanlage Jülich», 1976, N Conf 22, 63 (нем.)

С целью выяснения вопроса о возможном искажении анионного октаэдра в низкотр-ных фазах комплексов типа  $A_2MX_6$ , имеющем большое значение для координац. химии этих соединений, при т-рах 5°—300° К исследованы мессбауэровские спектры порошкообразных поглотителей  $K_2[SnCl_6]$ . Для этого соединения известно существование двух фазовых переходов при  $T_1 = 262^\circ K$  и  $T_2 = 253^\circ K$ . В области  $T_1$  происходят резкие скачки в величине изомерного сдвига и в ширине линий, тогда как в области  $T_2$  существенных изменений в мессбауэровских спектрах не наблюдалось. Величина эффекта Мессбауэра не проявляет каких-либо аномалий в исследуемой т-рной области. Уширение линий приписывается появлению в низкот-ной фазе квадрупольного расщепления, обусловленного искажением анионного октаэдра.

Л. А. Корытко

(Tr)

X. 1977  
N 9

K<sub>2</sub>[SnCl<sub>6</sub>]

1976

84: 158200j Moessbauer effect and Raman studies of the structural phase transitions in potassium hexachlorostannate(IV). Winter, J.; Roessler, K.; Bolz, J.; Pelzl, J. (Inst. Chem. I, Kernforschungsanlage Juelich, Juelich, Ger.). *Phys. Status Solidi B* 1976, 74(1), 193-8 (Eng). The <sup>119</sup>Sn Moessbauer spectrum and the Raman phonons in polycryst. samples of K<sub>2</sub>[SnCl<sub>6</sub>] were investigated at 4-300 and 150-300°K, resp. With decreasing temp. a discontinuous increase of the halfwidth of the Sn-Moessbauer line and a concomitant change in the isomeric shift were obsd. The former is attributed to the appearance of a quadrupole splitting at the 1st order crystallog. transition at  $T_1 = 262^\circ\text{K}$ . The Raman spectrum of the low-symmetry phase exhibits an external lattice mode located at 33 cm<sup>-1</sup> at 150°K. It shows a pronounced softening following the relation  $\omega(T) \sim (T_0 - T)^{1/2}$  where  $T_0$  is close to  $T_1$ . Two models are discussed in which alternatively a zone center and a zone boundary rotary mode is considered to drive the crystallog. transition.

(T<sub>tr</sub>)

C.A. 1976 84 N 22

$K_2SnCl_6$

1976

У 18 Б652. Изучение структурных фазовых переходов в  $K_2SnCl_6$  по данным спектроскопии Мессбауэра и комбинационного рассеяния. Winter J., Rössler K., Bolz J., Pelzl J. Mössbauer effect and Raman studies of the structural phase transitions in  $K_2(SnCl_6)$ . «Phys. status solidi (b)», 1976, 74, № 1, 193—198 (англ.; рез. нем.)

Для поликристаллич.  $K_2SnCl_6$  изучен мессбауэровский спектр  $Sn^{119}$  и спектр КР в диапазоне т-р соотв. от 4 иж 150° К до 300° К. С уменьшением т-ры наблюдается.

(T<sub>trc</sub>)

X1976 N18

рост полуширины мессбауэровской линии ( $\Gamma$ ) и соотв. изменение в изомерном сдвиге. Разрыв в зависимости  $\Gamma(T)$  связан с квадрупольным расщеплением при кристаллографич. фазовом переходе 1-го рода при  $T_1 = -262^\circ\text{K}$ . В спектре КР низко-симметрич. фазы проявляются внешние решеточные колебания с  $\omega = 33 \text{ см}^{-1}$  ( $150^\circ\text{K}$ ). Показано, что  $\omega(T) \sim (T_0 - T)^{1/2}$ , где  $T_0$  близко к  $T_1^\circ\text{K}$ . Обсуждены две модели, в к-рых соответственно вращательная мода для центра зоны и для границы зоны рассматриваются как характеризующие кристаллографич. переход.

По резюме

*K<sub>2</sub>SnCl<sub>6</sub>*

1976

(Ttx)

10 E551. Изучение фазовых переходов в K<sub>2</sub>[SnCl<sub>6</sub>] с помощью эффекта Мёссбауэра и комбинационного рассеяния света. Winter J., Rössler K., Bolz J., Pelzl J. Mössbauer effect and Raman studies of the structural phase transitions in K<sub>2</sub>(SnCl<sub>6</sub>). «Phys. status solidi (b)», 1976, 74, № 1, 193—198 (англ.; рез. нем.)

Снимали спектры ЯГР и спектры комб. рас. света на поликристаллич. образцах K<sub>2</sub>[SnCl<sub>6</sub>] в интервале т-р 4÷300° К и 150÷300° К соответственно. При охлаждении до т-ры 262° К происходило небольшое скачкообразное увеличение (на 3%) полуширины мёссбауэровской спектральной (одиночной) линии ( $\Gamma=0,80$  мм/сек при 300° К) и величины изомерного сдвига. Наблюданное изменение мёссбауэровского спектра при  $T_0=262$ ° К связывается с фазовым переходом (ФП) 1-го рода, приводящим к появлению квадрупольного расщепления ( $\Delta E_q=(0,025\pm 0,005)$  мм/сек). В спектре комб. рас. све-

Ф. 1976, № 10.

та низкотемпературной фазы наблюдалась мягкая мода (частота  $33 \text{ см}^{-1}$  при  $150^\circ\text{K}$ ), температурная зависимость которой описывается соотношением  $v(T) = 3,1(T_0 - T)^{1/2} \text{ см}^{-1} \cdot ^\circ\text{K}^{-1/2}$  в интервале  $150^\circ\text{K} < T < T_0$  с  $T_0 = 265 \pm 8^\circ\text{K}$ . ФП при  $262^\circ\text{K}$  в  $\text{K}_2[\text{ScCl}_6]$  трактуется как «слабый переход 1-го рода», обусловленный конденсацией либрационной моды норм. колебаний.

---

И. Разумовский

K<sub>2</sub>[SnCl<sub>6</sub>] (Ter) X-9871

1976

Winter J., Roessler K.,

Report 1975 AED-Conf-75-056-105,

6pp. From INIS Atomindex 1976

7(9) abstr N 238389.

Measurements of phase  
transitions in ...

(1)

5 (φ)

C.A. 1976: 85 v11. 102594n.

*K<sub>2</sub>SnCl<sub>6</sub>*

*1977*

1 E679. Исследование структурных фазовых переходов в  $K_2SnCl_6$  методом комбинационного рассеяния света. ~~Гетцт J.~~, Engels P., Florian R. Raman spectroscopic study of the structural phase transitions in  $K_2SnCl_6$ . «Phys. status solidi (b)», 1977, 82, № 1, 145—148 (англ.; рез. нем.)

*T-t<sub>c</sub>*

Сняты спектры комбинационного рассеяния света (КРС) в кристаллах  $K_2SnCl_6$  в диапазоне т-р 50—300° К. Кристаллы выращены из водного раствора и помещались в криостат с перестраиваемой т-рой. Изучались спектры света, рассеянного на 180°, лазерный луч перпендикулярен плоскости (111) исследуемого кристалла. Спектр КРС в низкотемпературной фазе согласуется с предположением о ее моноклинной структуре. Изучение температурной эволюции спектра КРС позволило выявить две температурно-зависимые моды, которые, по-видимому, «конденсируются» при т-рах 255 и 263° К. В этих точках наблюдаются структурные

*φ, 1978, №1*

фазовые переходы из кубической фазы в тетрагональную и из тетрагональной в моноклинную. Обнаруженные мягкие моды принадлежат продольным ротационным ветвям колебательного спектра и «конденсируются» в точках  $X$  и  $\Gamma$  зоны Бриллюэна. Помимо «настоящих» мягких мод, в спектре  $K_2SnCl_6$  обнаружена еще одна температурно-зависящая мода, частота которой пропорциональна  $(T_0 - T)^{1/2}$  с  $T_0 = 300^\circ K$  при  $T < 200^\circ K$ , а при  $T > 270^\circ K$  вообще не зависит от темп. Не исключено, что наличие этой моды отражает тенденцию кристалла к фазовому переходу при  $300^\circ K$ , однако, не наблюдается из-за того, что происходят более низкотемпературные переходы.

А. И. Соколов

а  
б в Е  
№ 7

$K_2ZrSi_6$ ,  $Cs_2ZrSi_6$ ,  $Cs_2HfSi_6$ ) 1977

$K_2SnBr_6$  ( $\Delta H_f$ ,  $\Delta H_{aq}$ ),  $ZrBr_4$ ,  $HfBr_4$ ,  $SnBr_4$  ( $\Delta H_{aq}$ ))  
 $KBr$ ,  $CsBr$  ( $\Delta H_{aq}$ )

Sikhiya Ramesh, Westland Silan D.

J. Chem. Soc. Dalton Trans., 1977, N18, 1707-1711 (with)

Enthalpies of formation of alkali-metal  
hexa bromo-zirconate, -hafnate, and -stannate

BX-942

PLK No. 1978

65684

—

M

(P)

Upc. Sect.  
KON

*K<sub>2</sub>SnCl<sub>6</sub>*

*1977*

*(T<sub>tr</sub>)*

87: 92975u Raman spectroscopic study of the structural phase transitions in potassium tin(IV) hexachloride. Pelzl, J.; Engels, P.; Florian, R. (Inst. Experimentalphys. VI, Ruhr-Univ., Bochum, Ger.). *Phys. Status Solidi B* 1977, 82(1), 145-8 (Eng). Raman spectra of K<sub>2</sub>SnCl<sub>6</sub> were investigated between 50 and 300 K. The obsd. low temp. spectra were compatible with the proposed monoclinic structure. Two bands that exhibit a soft behavior are assigned to a level center and boundary rotational mode, resp. It is supposed that these modes drive the structural phase transitions at  $T_1 = 263$  K and  $T_2 = 255$  K.

*C. A. 1977. 87 n 12*

$K_2SnCl_6$

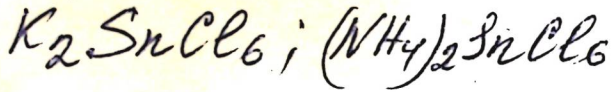
1977

1 Б807. Исследование структурных фазовых переходов в  $K_2SnCl_6$  (с помощью) спектроскопии комбинационного рассеяния. Pelzl J., Engels P., Florig R. Raman spectroscopic study of the structural phase transitions in  $K_2SnCl_6$ . «Phys. status solidi (b)», 1977, 82, № 1, 145—148 (англ.; рез. нем.)

Рамановские спектры  $K_2SnCl_6$  (I) исследованы в т-рном диапазоне 50—300° К. Характер их при низкой т-ре подтверждает предположение о переходе из кубич. структуры в монокл. Две новые слабые полосы на спектрах (тонкая структура спектров) связаны с зонной структурой мод вращения октаэдра  $SnCl_6$ . Предполагается, что эти моды колебаний возбуждают фазовые переходы в I при т-рах  $T_1=263^{\circ}$  К и  $T_2=255^{\circ}$  К.

А. С. Медведев

9. 1978 г.



1977

14 Б752. Стандартные энталпии образования гексахлоростаннатов калия и аммония кристаллических и в растворе. Васильев В. П., Васильева В. Н., Дмитриева Н. Г., Кокурин Н. И. «Ж. неорган. химии», 1977, 22, № 2, 319—325

В калориметре с изотермич. оболочкой при 25° измерены энталпии р-рения  $K_2SnCl_6$  (I) и  $(NH_4)_2SnCl_6$  (II) в р-рах соляной к-ты конц-ии 0,5; 1,0 и 2,0 н., а также энталпии р-рения I в воде и р-рах KCl, подкисленных HCl. Определены энталпии р-рения KCl и  $NH_4Cl$  в р-рах соляной к-ты и жидк.  $SnCl_4$  — в р-рах KCl и  $NH_4Cl$ , подкисленных HCl. Установлено, что энталпии р-рения I—II линейно зависят от величины

$\Delta H_f$ ,  $\Delta H_{aq}$

№ 1

☒



БР-X-479

X. 1977. № 14

СМН. // ЧЕЛЗУ

$m^{1/2}$  ( $m$  — моляльность р-ров I-II) и возрастают с увеличением конц-ии соляной к-ты. По энталпиям р-рения вычислены станд. энталпии образования тв. I-II при 298 К, равные  $-354,13 \pm 38$  и  $-297,34 \pm 0,31$  ккал/моль. Отмечено, что расчет энталпий образования по энталпиям р-рения в солянокислых р-рах KCl и NH<sub>4</sub>Cl и р-рах HCl различной конц-ии дает практически одинаковые результаты. Вычислены энталпии образования воды и солянокислых р-ров I-II.

П. М. Чукуров

*K<sub>2</sub>SnCl<sub>6</sub>*

**6**

*Кристал.  
Структ.*

**BX-1609**

**1978**

23 Б555. Нейтронографическое исследование структурных изменений в K<sub>2</sub>SnCl<sub>6</sub>. Boysen H., Newatt A. W. A neutron powder investigation of the structural changes in K<sub>2</sub>SnCl<sub>6</sub>. «Acta crystallogr.», 1978. V34, № 5, 1412—1418 (англ.)

Осуществлен синтез (взаимодействием води. р-ров KCl и SnCl<sub>4</sub>) и нейтронографич. исследование ( $\lambda$  1,078 и 1,384 Å, т-ра от коми. до 4°K) кристаллов K<sub>2</sub>SnCl<sub>6</sub>. Подтверждено ранее установленное по рентгеновским данным наличие 3 полиморфных модификаций: устойчивой в обычных условиях фазы I и 2 низкот-рных форм: II, образующейся из I при охлаждении до 261°K и III, образующейся из II при 255°K. Для I установлена кубич. структура типа K<sub>2</sub>PtCl<sub>6</sub> и параметр решетки (280°K):  $a$  9,9877 Å,  $Z=4$ , ф. гр. Fm $\bar{3}m$ . Для II найдена тетрагон. решетка с параметрами (при 265°K):  $a$  7,0577,  $c$  9,9784,  $Z=2$ , ф. гр. P4/mnc; для III найдена монокл. решетка с параметрами (при 190°K):  $a$  7,024,  $b$  7,013,  $c$  9,988,  $\beta$  90,13°,  $Z=2$ , ф. гр. P2<sub>1</sub>/n. Уточнение структур I, II, III проведено по данным порошковой нейтронографии методом анализа

*X. 1978, № 3*

профилей пиков с использованием МНК в анизотропном приближении;  $R$  для I 8,9, для II 9,4, для III 7,10 %. Структурные изменения при фазовых переходах I $\rightarrow$ II, II $\rightarrow$ III заключаются в развороте октаэдров  $\text{SnCl}_6$  вокруг направления [100] в октаэдрич. слоях, перпендикулярных оси  $c$  (угол  $\varphi_1$ ) и в развороте октаэдров вокруг направления [110] (угол  $\varphi_2$ ). Углы вращения  $\varphi_1$  и  $\varphi_2$ , равные  $0^\circ$  для I, возрастают с падением т-ры и составляют для III (при  $190^\circ\text{K}$ )  $\varphi_1$   $6,73^\circ$  и  $\varphi_2$   $6,44^\circ$ . Средн. межатомные расстояния (с учетом поправок на тепловые колебания атомов) Sn—Cl в I 2,433, в II 2,437, в III 2,436 Å остаются практическими постоянными вне зависимости от т-ры и типа структуры. Сильный фон на нейтронограммах порошка свидетельствует об элементах динамич. (при коми. т-ре) и статистич. (при низких т-рах вплоть до  $4^\circ\text{K}$ ) беспорядка, выражающихся в неупорядоченном развороте октаэдров вокруг направления [001] в соседних слоях, перпендикулярных оси  $c$ .

С. В. Соболева

*K<sub>2</sub>SnCl<sub>6</sub>*

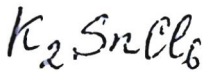
*1978*

89: 98050b Photoacoustic detection of phase transitions.  
Florian, R.; Pelzl, J.; Rosenberg, M.; Vargas, H.; Wernhardt,  
R. (Inst. Experimentalphys. VI, Ruhr Univ. Bochum, Bochum,  
Ger.). *Phys. Status Solidi A* 1978, 48(1), K35-K38. (Eng).  
The photoacoustic effect can be used for the detection and  
examm. of phase transitions. Changes of the photoacoustic signal  
at Ga and of water and at the structural phase transition of  
K<sub>2</sub>SnCl<sub>6</sub> are reported. The endothermal process can easily be  
detected by the photoacoustic effect. As the photoacoustic effect  
mainly probes the surface region of the sample, the application  
of this effect should complement the calorimetric method.

*Hf*

*0.4, 1978, 29, N12*

1978



нарицай  
реактор

8



$$(V_i)$$

x. 1979, N11

11 Б611. Спектроскопическое исследование смешанных кристаллов  $[NH_4]_xK_{1-x}2SnCl_6$ . Regelsberg M., Pezl J. Spectroscopic investigation of  $[NH_4]_xK_{1-x}2SnCl_6$  mixed crystals. «Solid State Comp.», 1978, 28, № 9, 783—785 (англ.)

Проведены рентгенографич., КР-спектроскопич. и калориметрич. исследования смешанных кристаллов  $[NH_4]_xK_{1-x}2SnCl_6$  (I) на поликрист. образцах, приготовленных кристаллизацией из водных р-ров  $(NH_4)_2SnCl_6$  (II) и  $K_2SnCl_6$  (III). Рентгенографич. данные показывают, что при комб. т-ре I, II и III кристаллизуются в кубич. структуре антифлюорита с почти совпадающими параметрами решетки: 1,0000(7) нм для III и 1,0062(5) нм для II), причем концентрац. зависимость параметра решетки для смешанных кристаллов подчиняется закону Вегарда. В спектре КР в области до 500  $\text{см}^{-1}$  обнаружены частоты вал. кол. октаэдрич. групп  $SnCl_6^{2-}$   $\nu_1 (A_{1g})$ ,  $\nu_2 (E_g)$ ,  $\nu_5 (F_{2g})$  и решеточные моды. Все особенности спектров смешанных кристаллов I меняются с конц-ней линейно, за исключением полуширины полосы  $\nu_5$ , значительное уширение к-рой связа-

но со снятием вырождения в результате статич. иска-  
жения решетки, и влиянием вращательных движений  
 $\text{NH}_4$ -групп. Калориметрич. измерения ограничены об-  
ластью низких конц-ий ионов  $\text{NH}_4$  ( $x < 0,06$ ) и проведе-  
ны для выяснения концентрац. изменения т-ры фазо-  
вого перехода  $T_1$  от кубич. к тетрагон. симметрии,  
к-рый наблюдается в III при  $261,7(5)^\circ\text{K}$  и отсутствует  
в II вплоть до гелиевых т-р. Обнаружено линейное  
понижение  $T_1$  с коэф.  $dT_1/dx = -516^\circ\text{K}/\text{моль}$ . Энтал-  
пия перехода с ростом  $x$  уменьшается. Поскольку  
структурное превращение в III при фазовом переходе  
включает незначит. повороты  $\text{SnCl}_6^{2-}$  октаэдров, сде-  
лано предположение, что ионы  $\text{NH}_4^+$  в матрице III  
блокируют вращение этих октаэдрич. ионов. Указанное  
допущение объясняет уменьшение как  $T_1$ , так и эн-

тальпии с ростом содержания  $\text{NH}_4^+$  в смешанных  
криSTALLах.

П. Н. Дьячков

ения

*K<sub>2</sub>SnBr<sub>6</sub>*

1978

89: 51653k Displacive phase transformations in potassium hexabromostannate(IV). Swanson, B. I. (Chem. Dep., Univ. Texas, Austin, Tex.). *Phys. Status Solidi A* 1978, 47(1), K95-K98 (Eng). The dynamics of structural phase transformations of K<sub>2</sub>SnBr<sub>6</sub> were studied by Raman scattering and optical microscopy. Room-temp. spectra show evidence for a breakdown in the *Fm3m* selection rules. Optical microscopy studies show a clear change in the birefringence at (368 ± 5) K which is concluded to be a 2nd or higher order phase change in addn. to the known transition at 399 K. The highest temp. phase transformation is tentatively attributed to rotation of the SnBr<sub>6</sub><sup>2-</sup> octahedra.

*Tz*

C. A. 1978. 89 n 6

$K_2CeF_6$

1979

разов.  
динар.

~~Chernov R. V.~~  
Чернов Р. В. и др  
Укр. хим. ж., 1979,  
45(10), 928-31.

(см. Na-Be;  $\frac{1}{2}$ )

*K<sub>2</sub>SnBr<sub>6</sub>*

*Кристал.  
Структур.*

14 Б398. Структура калиевого гексабромстанната при комнатной температуре. Higashi T., Syoyma S., Osaki K. Structure of potassium hexabromostannate (IV) at room temperature. «Acta crystallogr.», 1979, B35, № 1, 144—146 (англ.).

1979

Проведено рентгеноструктурное исследование полученных медленным выпариванием из воды. р-ра исходных реагентов жел. кристаллов  $K_2SnBr_6$  (I) (методы Вайсенберга и прецессии, визуальная оценка интенсивностей,  $\lambda Mo$ , 743 отражения, МНК в анизотропном приближении до  $R=0,093$ ). Параметры монокл. решетки:  $a = 10,621$ ,  $b = 7,427$ ,  $c = 7,442$  Å,  $\beta = 90,18^\circ$ ,  $\rho$  (выч.) 3,825,  $Z=2$ ; ф. гр.  $P2_1/n$ . В структуре I атомы Sn помещены в почти правильные октаэдры из атомов Br; с  $Sn—Br = 2,590—2,597$ ,  $Br—Br = 3,654—3,676$  Å. Углы  $BrSnBr = 89,7—89,9^\circ$ . Такие октаэдры соединяются между собой вершинами, образуя полярный (вдоль  $z$ ) трехмерный каркас, причем все вершины октаэдров поделены. Координац. многогранник атомов K — двенадцативершинник, с  $K—Br = 3,39—4,34$  Å, но четыре из них образуют первую координац. сферу с  $K—Br$

з° 1949 N 14

(сред.) 3,44 А. В целом структура I относится к структурному типу  $K_2PbCl_6$  (II), но в отличие от II сильно искажена, т. к. октаэдры  $SnBr_6$  попеременно закручены вокруг оси  $a$  и  $b$ , сохраняя связи между собой. В итоге, симметрия I снижена до монокл. При нагревании I выше 399,8° К происходит фазовый переход, аналогично такому переходу при 262° К для  $K_2SnCl_6$ .

Ю. А. Малиновский

1979

*K<sub>2</sub>GeF<sub>6</sub>**Rb<sub>2</sub>GeF<sub>6</sub>**полиморф.  
превращ.*

5 Б875. О проявлении полиморфизма в ИК-спектрах поглощения K<sub>2</sub>GeF<sub>6</sub> и Rb<sub>2</sub>GeF<sub>6</sub>. Игнатьева Л. Н., Сергиенко В. И., Мирочник А. Г. «Ж. структур. химии», 1979, 20, № 4, 678—683

Приведены результаты исследования влияния полиморфных превращений на интегральные интенсивности колебательных полос в ИК-спектрах поглощения. Измерены ИК-спектры поглощения тригон. и гексагон. модификаций K<sub>2</sub>GeF<sub>6</sub> и Rb<sub>2</sub>GeF<sub>6</sub>. Установлено, что гексагон. модификация в обоих случаях характеризуется уменьшенными значениями интегральной интенсивности полосы, соотв.-щей вал. кол. октаэдрич. иона  $[GeF_6]^{2-}$  (20% для  $K_2GeF_6$  и 14% для  $Rb_2GeF_6$ ). Причиной является усиление внешнесферного взаимодействия вследствие сокращения расстояний M—F в гексагон. фазе и происходящего одновременно изменения подвижности катионов.

Резюме

(+) 4

Х. 1980. N 5

*K<sub>2</sub>SnCl<sub>6</sub>* D)

1979

19 Б413. Четыре фазы K<sub>2</sub>SnCl<sub>6</sub>: измерение параметров решеток и их согласование с теорией Ландау..  
Kugler W., Knorr K., Ihringer J., Prandl W.  
Die vier Phasen des K<sub>2</sub>SnCl<sub>6</sub>: Messungen der Gittermetrik:  
und ihre Deutung mit der Landau—Theorie. «Z. Kristal-  
logr.», 1979, 149, № 1—2, 168—169 (нем.)

*издательство*

22.1979, N19

1980

K<sub>n</sub><sub>x</sub>

Rb<sub>n</sub><sub>x</sub>

23 Б804 Деп. О возможных соединениях в системах  
калий—олово и рубидий—олово. Гукова Ю. Я.,  
Гуков О. Я. Воронеж. ун-т МВССО РСФСР, Во-  
ронеж, 1980, 4 с., ил., библиогр. 3 назв. (Рук. деп. в:

Методом пламенной фотометрии построены фотограммы систем калий—олово и рубидий—олово и получены сведения о возможности образования хим. соединений в этих системах. Проведено сравнение диаграммы плавкости калий—олово и фотограммы. Автореферат

система.

(+)  
□

X. 1980 №23

*K<sub>2</sub>SnCl<sub>6</sub>*

1980

94: 74025z Raman scattering from potassium hexachloro-stannate(IV) under hydrostatic pressure. Henkel, W.; Hochheimer, H. D.; Pelzl, J.; Hoeck, K. H. (Max-Planck-Inst. Festkoerperforsch., D7000 Stuttgart, Fed. Rep. Ger.). *C. R. - Conf. Int. Spectrosc. Raman, 7th 1980*, 38-9 (Eng). Edited by Murphy, W. F. NRCC: Ottawa, Can. The  $p(T)$ -phase diagram of K<sub>2</sub>SnCl<sub>6</sub> was investigated by Raman scattering between the cubic phase and the intermediate orthorhombic phase. The pressure dependence of the Raman modes ( $p \leq 50$  kbar) was detd. in the temp. range  $220\text{K} \leq T \leq 300\text{K}$ .

*quartz  
quartz.*

e. H. 1981. 94, v10

1980

*K<sub>2</sub>SnCl<sub>6</sub>)*

8 Б640. Температурная зависимость системы характерных диффузных [максимумов] в K<sub>2</sub>SnCl<sub>6</sub>. Hohlwein D., Ihringer J. Temperature dependence of the diffuse streak system in K<sub>2</sub>SnCl<sub>6</sub>. «Solid State Comm.», 1980, 36, № 5, 427—429 (англ.)

*Hz*

Нейтронографическим методом при т-рах 4—640 К исследованы образцы K<sub>2</sub>SnCl<sub>6</sub>, в к-ром при  $T_{c1} = 261$  К и  $T_{c2} = 255$  К происходят фазовые переходы, сопровождающиеся понижением симметрии от кубич. до ромбич. и монокл. При  $T_{c1}$  наблюдается максимум интенсивности диффузного рассеяния. Характер ее убывания с т-рой выше  $T_{c1}$  по закону  $(T - T_{c1})^{-1}$  связывается с поведением мягкой либронной моды  $A_{2g}$ . При высоких т-рах эта мягкая фоновая ветвь значительно уширяется. В ходе фазового превращения наряду с появлением сверхструктурных рефлексов происходит уменьшение диффузного рассеяния, что свидетельствует об адекватности его описания в гармонич. приближении.

С. Ш. Шильштейн

*X. 1981 N 8*

*K<sub>2</sub>SnCl<sub>6</sub>)*

1980

4 E635. Температурная зависимость системы полос рассеяния в K<sub>2</sub>SnCl<sub>6</sub>. Temperature dependence of the diffuse streak system in K<sub>2</sub>SnCl<sub>6</sub>. Hohlwein D., Ihrlinger J. «Solid State Commun.», 1980, 36, № 5, 427—429 (англ.)

*T<sub>tr</sub>*

Исследована зависимость интенсивности полос, составляющих дифракционную картину в монокристалле K<sub>2</sub>SnCl<sub>6</sub>, от т-ры с помощью фотoreгистрации распределения рассеянных нейтронов в температурном интервале 4—640° К. Использован метод качания кристалла. Длина волны нейтронов для т-р ниже комнатной выбрана равной 1,45 Å, для т-р 295, 453 и 633 К — 1,53 Å. Приведены температурные зависимости интегральной интенсивности и полной ширины в интервале т-р 220—640° К, а также фотография полосы (53l) при комнатной т-ре. Полученное распределение интенсивности может быть удовлетворительно объяснено поведением мягкой вращательной моды A<sub>2g</sub>, нестабильность которой обусловливает переход при T<sub>c1</sub>=261° К. Вблизи т-р переходов T<sub>c1</sub> и T<sub>c2</sub>=255° К интенсивность полос уменьшается примерно в три раза. Ниже T<sub>c2</sub> интенсивность пропорциональна ΔT. Полосы наблюдаются вплоть до 230° К.

И. О. Майор

*ф. 1981 № 4*

1980

*K<sub>2</sub>SnCl<sub>6</sub>*

20 Б440. Рентгеновское исследование высокотемпературной фазы K<sub>2</sub>SnCl<sub>6</sub>. Ihringer J. An X-ray Investigation of the high-temperature phase of K<sub>2</sub>SnCl<sub>6</sub>. «Acta crystallogr.», 1980, A36, № 1, 89—96 (англ.)

Рентгенографически (3-кружный дифрактометр,  $\sin \theta/\lambda \leq 1,2 \text{ \AA}^{-1}$ , полное число отражений, измеренных на 2 кристаллах октаэдрич. формы размером 0,5 мм в поперечнике — по 1200 (независимых — 266 и 264), поправка на поглощение, уточнение МНК,  $R_w = 0,03$ ) исследована при комн. т-ре структура K<sub>2</sub>SnCl<sub>6</sub> (I). Решетка I — кубич. типа антифлюорита ( $a = 9,988 \text{ \AA}$ ), построена из ионов K и октаэдров SnCl<sub>6</sub>. Уточнены тепловые параметры ( $u_{11} = 0,54$  и 0,0206 для K и Sn соотв. для Cl  $u_{11} = 0,021$ ,  $u_{22} = 0,0802$ ) и позиц. параметр атомов Cl (0,2407). Поправка на длину связи для либраций ионов Cl дает величину амплитуды ротац. угла, равную 5,8°, исправленное значение позиц. параметра равно 0,2434. С помощью разностного синтеза Фурье для плоскости (0yz) обнаружены максимумы электронной плотности вблизи ионов Cl и Sn, параллельные свя-

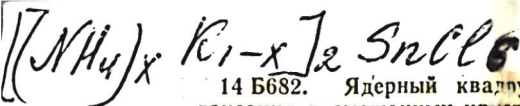
рентгеногр.  
исследов.  
паралл.  
решетки

рдк №20

зи Sn—Cl, причем максимумы вблизи ионов Cl, лежащие на отрезках, перпендикулярных связи, не имеют аналогов вблизи ионов Sn. Наблюдаемая картина связывается с конденсацией либрац.  $A_2$ -мод колебаний. Вторая система диффузных максимумов связана с по-перечной акустич. модой  $B_1(\Sigma)$ . В I вращения соседних октаэдров «в фазе» в плоскостях {001} минимизируют энергию решетки. Возможность этих колебаний связана с тем, что кратчайшие расстояния Sn—Cl в I (3,54 Å) заметно превышают сумму ионных радиусов (3,14 Å) и демонстрируют слабую связь соседних плоскостей для поля смещений, соотв-вующих моде  $A_2$ . На основе эксперим. данных о диффузном рассеянии предложен механизм фазового перехода в I, согласно к-рому в высокот-рной фазе имеется два симм. минимума Пт по отношению к поворотам октаэдров. Отмечена существенная ангармонич.ость либраций октаэдров в решете I.

С. Ш. Шильштейн

1980



14 Б682. Ядерный квадрупольный резонанс и релаксация в смешанных кристаллах  $[(\text{NH}_4)_x \text{K}_{1-x}]_2 \text{SnCl}_6$ . Klink J. J. van der, Dimitropoulos C. NQR resonance and relaxation in  $[(\text{NH}_4)_x \text{K}_{1-x}]_2 \text{SnCl}_6$  mixed crystals. Nuclear Quadrupole Resonance Studies. Proc. 5th Int. Symp., Toulouse; 10—14 Sept., 1979. «J. Mol. Struct.», 1980, 58, 359—366 (англ.).

(Ttr)

Методом ЯКР  $^{35,37}\text{Cl}$  изучен поликрист. образец  $[(\text{NH}_4)_{0,01} \text{K}_{0,99}]_2 \text{SnCl}_6$  при т-рах 160—320 К. Определены скорость спин-решеточной релаксации  $T_1^{-1}$  и скорость молек. реориентации ( $\tau^{-1}$ ) октаэдров  $\text{SnCl}_6^{2-}$ . Полученные данные свидетельствуют об уменьшении  $\tau^{-1}$  вблизи примесей по сравнению с безпримесными областями кристалла. Вблизи т-ры фазового перехода возможен добавочный релаксац. механизм, для к-рого

XIV - 9889

ж 1980 № 14

скорость релаксации растет с понижением т-ры. Предполагается, что этот механизм релаксации обусловлен наличием мягких колебаний мод, проявляющихся в спектрах КР. Предложена модель, описывающая механизм фазового перехода из кубич. в низкосимм. фазу в смешанных гексахлоростаниатах. В соответствии с этой моделью увеличение барьера для реориентации  $\text{SnCl}_6^{2-}$ -групп вблизи примесных  $\text{K}^+$ -центров приводит к стабилизации кубич. структуры и следовательно к понижению т-ры фазового перехода  $T_c$  с ростом конц-ии примесей по закону  $T_c = 262(1-2x)\text{K}$ ,  $x=0-0.05$ .

С. П. Петросянц

*K<sub>2</sub>SnCl<sub>6</sub>*

92: 207572h Phase transition-induced dipolar relaxation, a new method for the investigation of phase transformations in dielectric materials, applied to dipotassium tin(IV) chloride. Winter, J.; Roessler, K. (Inst. Chem. 1, KFA, Juelich, D-5170 Juelich, Fed. Rep. Ger.). *Phys. Rev. B: Condens. Matter* 1980, 21(7), 2920-5 (Eng). A new method for investigating the lattice dynamics at structural phase transformations is presented, TIDR (transition-induced dipolar relaxation). It relies on the fact that the relative positions of mols. and likewise of dipolar units within a crystal are detd. by the min. in the lattice potential. As a consequence of phase transformations, the lattice potential may change, thus changing the orientation of the dipoles and leading to polarization or depolarization currents. If intrinsic dipolar mols. are not present in the sample, a small conen. of dipolar defects which can act as indicators can easily be introduced via mild neutron irradn. and subsequent recoil processes of the activated atoms. This technique has been applied to K<sub>2</sub>SnCl<sub>6</sub>, which exhibits 2 structural phase transitions, at  $T_1 = 262$  K and  $T_2 = 253$  K. SnCl<sub>5</sub><sup>-</sup> dipoles in ppm amts. were created by neutron-capture-induced ligand recoil. From the measurements a libration of the SnCl<sub>5</sub><sup>-</sup> units about 2 cubic main axes by  $(6 \pm 2)^\circ$  below  $T_2$  is deduced. This result agrees very well with recent neutron scattering data on the tilting of the intact SnCl<sub>6</sub><sup>2-</sup> octahedra. On the other hand, the data show 90° jumps of the SnCl<sub>5</sub><sup>-</sup> dipoles at  $T \geq T_1$ .

*(T<sub>2</sub>)*  
CA 1980 92 N2X

*K<sub>2</sub>SnCl<sub>6</sub>*

1980

12 Е673. Индуцированная фазовым переходом дипольная релаксация — новый метод исследования фазовых превращений в диэлектрических материалах; исследование K<sub>2</sub>SnCl<sub>6</sub>. Phase-transition-induced dipolar relaxation, a new method for the investigation of phase transformations in dielectric materials, applied to K<sub>2</sub>SnCl<sub>6</sub>. Winter J., Rössler K. «Phys. Rev. B: Condens. Matter», 1980, 21, № 7, 2920—2925 (англ.)

*T<sub>Tz</sub>*

Ориентационное смещение групп атомов при структурных фазовых переходах при условии, что группы атомов (структурные единицы) обладают собственным постоянным дипольным моментом, может быть определено методом ионного термотока. Полученные таким способом сведения о перемещениях структурных единиц позволяют судить о минимумах потенциала решетки. В случаях, когда переориентирующиеся относительно основного базиса группы атомов не обладают собственным дипольным моментом, предлагается искусственно создавать дипольные дефекты путем облучения образца тепловыми нейтронами. В K<sub>2</sub>SnCl<sub>6</sub> (два фазовых перехода: при  $T_1=262^\circ\text{K}$  и  $T_2=253^\circ\text{K}$ ) создавались дипольные единицы SnCl<sub>5</sub><sup>-</sup>, причем считалось, что дефектные единицы не очень отличаются от неповрежденных SnCl<sub>6</sub><sup>2-</sup> и занима-

φ. 1980

*N 12*

ют в решетке прежние позиции. Низкая конц-ия дефектов исключала их непосредственное влияние на фазовые переходы. Установлен характер вращения дипольных единиц  $\text{SnCl}_5^-$  и, соответственно, октаэдров  $\text{SnCl}_6^{2-}$  вблизи  $T_1$  и  $T_2$ : при т-рах непосредственно ниже  $T_2$  поворот происходит на  $(6 \pm 2)^\circ$  относительно двух главных кубич. осей; при  $T \geq T_1$  поворот происходит скачком на  $90^\circ$ . Библ. 50.

И. О. Майер

кото

$K_2Sr_3$  1981

Drits M.E., Fridman  
A.S., et al.

$T_m$  Fazovye Lavrovesiya  
Met. Splevakh 1981,  
176 - 178.  
(cer.  $Cs_2Sr_3$ ;  $\gamma$ )

*K<sub>2</sub>SnCl<sub>6</sub>* OM. 14678

1981

✓ 94: 23198a Ultrasonic investigation of phase transitions in potassium hexachlorostannate(IV). Pelzl, J.; Hoek, K. H.; Miller, A. J.; Ford, P. J.; Saunders, G. A. (Abt. Phys. Anson., Ruhr Univ., D-4630 Bochum, Fed. Rep. Ger.). *Z. Phys. B* 131, 40(4), 321-9 (Eng). The phase transitions of K<sub>2</sub>SnCl<sub>6</sub> were studied by ultrasonic attenuation at 255-350 K. A transition

(T<sub>tr</sub>) occurs at ~263 K, and the shear stiffness const. decreases as the temp. decreases down to this temp. The transition is driven by the soft, optic-rotary mode of  $\Delta^{\pm}A_{2g}$  symmetry. The transition is cubic-orthorhombic. The attenuation coeffs. were detd. for (NH<sub>4</sub>)<sub>2</sub>SiF<sub>6</sub>.

C.A.1981. 94 n4

OM. 14678

1981

*K<sub>2</sub>SnCl<sub>6</sub>*

10 Б858. Ультразвуковые исследования фазовых переходов в K<sub>2</sub>SnCl<sub>6</sub>. Pelzl J., Höck K.-H., Miller A. J., Ford P. J., Saunders G. A. Ultrasonic investigation of phase transitions in K<sub>2</sub>SnCl<sub>6</sub>. «Z. Phys.», 1981, B40, № 4, 321—329 (англ.)

Путем измерения скорости распространения УЗ и затухания УЗ-колебаний в диапазоне т-р 255—350 К исследованы фазовые превращения в монокристаллах K<sub>2</sub>SnCl<sub>6</sub>, выращенных из водн. р-ра и испытывающих при  $T_{c1}=263$  К переход из кубич. фазы в фазу с неизвестной структурой и при  $T_{c2}=255$  К переход в фазу с монокл. структурой. При приближении к  $T_{c1}$  от комн. т-ры обнаружено аномальное уменьшение сдвиговой постоянной упругой жесткости  $c'=1/2 (C_{11}-C_{12})$ , составляющее в кубич. фазе 30%. В области т-р  $T-T_{c1} \leq 10$  К др. сдвиговая постоянная  $C_{44}$  испытывает на порядок меньшее уменьшение. Около  $T_{c1}$  происходит аномальное увеличение затухания сдвиговых акустич

2.1981.11.10

воли вдоль направления [111], к-рое отсутствует для поперечных волн вдоль направления [100]. Обнаружено наличие т-рного гистерезиса  $262 < T < 263,5$  К для скорости продольных волн [100]. Сделан вывод, что фазовый переход при  $T_{c1}$  является превращением 1-го рода из кубич. сингонии с пространственной группой  $O_h^5$  в ромбич. фазу с пространственной группой  $D_{2h}^2$ . Это превращение связано с мягкой оптич. вращательной модой  $\Delta_{A2g}^x$  симметрии. С этой точки зрения рассмотрено влияние гидростатич. давл. на упругие постоянные в  $K_2SnCl_6$  и  $(NH_4)_2SiF_6$ . Г. Л. Апарников

*K<sub>2</sub>SnCl<sub>6</sub>*

*О.м. 14678*

*1981*

5 E714. Ультразвуковое исследование фазовых переходов в K<sub>2</sub>SnCl<sub>6</sub>. Ultrasonic investigation of phase transitions in K<sub>2</sub>SnCl<sub>6</sub>. Pelzl J., Höck K.-H., Miller A. J., Ford P. J., Saunders G. A. «Z. Phys.», 1981, B 40, № 4, 321—329 (англ.)

*фазовый  
переход*

В диапазоне т-р 255—350° К на частоте 10 МГц эхо-импульсным методом измерены скорость ( $v$ ) и поглощение ( $a$ ) ультразвука в монокристаллах K<sub>2</sub>SnCl<sub>6</sub>, выращенных из водного раствора. Обнаружено сильное возрастание  $\alpha$  для поперечной моды, связанной с упругим модулем  $c' = 1/2 (c_{11} - c_{12})$ , наблюдаемое в интервале т-р  $T - T_c < 10^{\circ}$  К. В то же время при охлаждении через  $T_c$  не наблюдалось изменения  $\alpha$  для поперечной моды [100], связанной со сдвиговым модулем  $C_{44}$ . В температурном интервале  $\sim 1,5^{\circ}$  К вблизи  $T_c$  наблюдается гистерезис скорости продольной звуковой волны  $v_L$  [100]. Совокупность эксперим. данных свидетельствует о том, что в  $T_c \approx 263^{\circ}$  К происходит фазовый переход 1-го рода из высокотемпературной кубич. фазы в орторомбич. фазу  $D_{2h}^2$ . Библ. 24. С. А. Гридинев

*Ф.1981н5*

$K_2SnF_6 \cdot H_2O$

1981

№ 18 Б873. Внутренняя подвижность и полиморфные переходы в гексафторстаннатах щелочных металлов. Серышев С. А., Вахрамеев А. М., Афанасьев М. Л., Круглик А. И., Бондаренко В. С. «Ядер. магнит. резонанс и внутр. движения в кристаллах.» Красноярск, 1981, 105—116

Методом ЯМР широких линий на ядрах  $^{19}F$  в интервале 110—650 К исследованы динамика и строение октаэдрич. иона  $[SnF_6]^{2-}$  в гексафторстаннатах щел. металлов. В  $K_2SnF_6 \cdot H_2O$  использование наряду с ЯМР методов рентгеновской дифракции и ДТА позволило не только определить энергию активации октаэдров  $[SnF_6]^{2-}$ , изучить особенности обезвоживания, но и обнаружить полиморф. переходы и идентифицировать фазы, полученные воздействием т-ры или высокого давления.

Резюме

Х. 1982, 19, № 18

$K_2SnF_6 \cdot H_2O$

1981

9 Е568. Внутренняя подвижность и полиморфные переходы в гексафторстаннатах щелочных металлов. Серышев С. А., Вахрамеев А. М., Афанасьев М. Л., Круглик А. И., Бондаренко В. С. «Ядер. магнит. резонанс и внутр. движения в кристаллах». Красноярск, 1981, 105—116

Методом ЯМР широких линий на ядрах  $^{19}F$  в интервале 110—650 К исследованы динамика и строение октаэдрич. иона  $[SnF_6]^{2-}$  в гексафторстаннатах щелочных металлов. В  $K_2SnF_6 \cdot H_2O$  использование наряду с ЯМР методов рентгеновской дифракции и ДТА позволило не только определить энергию активации октаэдров,  $[SnF_6]^{2-}$ , изучить особенности обезвоживания, но и обнаружить полиморфные переходы и идентифицировать фазы, полученные воздействием т-ры или высокого давления. Библ. 15.

Резюме

Ф. 1982, 18, № 9.

Рейдеси Азиз К

1981

Сибирский проф. Т. Р.

Издан. в бот. през.-химии  
переодежн. и текстил. сибиряка  
ев-ка и Сибирь. ил.,  
1981, 29-34.

(см. Станнати, №; I)

*K<sub>2</sub>Sn<sub>2</sub>O<sub>3</sub>*

1982

16 Б360. Об оксостанноатах. III. Сравнение  
K<sub>2</sub>Sn<sub>2</sub>O<sub>3</sub>, Rb<sub>2</sub>Sn<sub>2</sub>O<sub>3</sub> и Cs<sub>2</sub>Sn<sub>2</sub>O<sub>3</sub>. В гауп R. M., Нор-  
ре R. Über Oxostannate(II). III. K<sub>2</sub>Sn<sub>2</sub>O<sub>3</sub>, Rb<sub>2</sub>Sn<sub>2</sub>O<sub>3</sub> und  
Cs<sub>2</sub>Sn<sub>2</sub>O<sub>3</sub> — ein Vergleich. «Z. anorg. und allg. Chem.»,  
1982, 485, № 2, 15—22 (нем.; рез. англ.)

Осуществлен синтез (взаимодействием RbO<sub>0,48</sub> и SnO в атмосфере Ar при т-ре 600°) и рентгенографич. исследование (МНК, анизотропное приближение,  $R = 5,09\%$  для 260 отражений) кристаллов Rb<sub>2</sub>Sn<sub>2</sub>O<sub>3</sub> (I). Параметры ромбоэдрич. решетки (в гексагон. установке): ( $a = 6,086$ ,  $c = 15,101$  Å,  $\rho$ (изм.) 4,64,  $\rho$ (выч.) 4,69,  $Z = 3$ , ф. гр.  $R\bar{3}m$ ). Для I установлена изоструктурность с K<sub>2</sub>Sn<sub>2</sub>O<sub>3</sub> (II). Для I и II характерны перовскитоподобные структуры, основу к-рых составляют проходящие параллельно (001) слои состава Sn<sub>2</sub>O<sub>3</sub> из соединенных вершинами тригон. пирамид SnO<sub>3</sub> (Sn—O 3,663 Å, четвертый атом O находится от Sn на расстоянии 4,00 Å).

*Кристал-  
структур*

(72)

X. 1982, 19, N 16.

В направлении оси *c* слои связаны в I посредством атомов Rb, находящихся в окружении из 6-ти атомов O (Rb—O 3,043, 3,069 Å). Отмечается различие между структурами I, II, с одной стороны и структурой  $\text{Cs}_2\text{Sn}_2\text{O}_3$  (III), с другой, выражющееся в относительно плоском строении слоя  $\text{Sn}_2\text{O}_3$  в I и II и существенно гофрированном в III. Для I—III осуществлен подсчет составляющей Маделунга в общей энергии решетки, эффективных координац. чисел и средн. эффективных ионных радиусов. Сообщ. II см. Вгауп R. M., Норре R., Z. anorg. allg. Chem., 1981, 480, 81. С. В. Соболева

$K_2SnO_2$

1982

Braun Rolf u.,  
Koppe Rudolf.

Красн.  
Сирикай.  
Z. Naturforsch., 1982,  
B37, N6, 688-694.

(cfr.  $Rb_2SnO_2$ ; ?)

*K<sub>2</sub>SnCl<sub>6</sub>*

*1982*

15 Е480. Влияние давления на фазовые переходы в K<sub>2</sub>SnCl<sub>6</sub>, установленное методом измерений частоты ядерного квадрупольного резонанса. Pressure dependence of phase transitions in K<sub>2</sub>SnCl<sub>6</sub> from NQR frequency measurements. Dimitropoulos C., Pelzl J. «Solid State Commun.», 1982, 44, № 6, 849—851 (англ.)

Исследовано влияние гидростатич. давления до 4 кбар на частоту ядерного квадрупольного резонанса атомов <sup>35</sup>Cl в K<sub>2</sub>SnCl<sub>6</sub> в температурном интервале 238—300 К. Обнаружен фазовый переход из моноклинной структуры при T ≈ 255 К в орторомбическую с пространственной группой D<sub>2h</sub><sup>2</sup>, а затем при T ≈ 262 К в структуру с пр. гр. O<sub>h</sub><sup>5</sup>. Фазовые границы на Р—Г-диаграмме являются прямыми линиями с наклонами dT<sub>1</sub>/dp = 1,55 К/кбар и dT<sub>2</sub>/dp = -1,25 К/кбар. E. C. A.

*T<sub>tr</sub>*

*φ. 1983, 18, N5.*

$((NH_4)_x K_{1-x})_2 SnCl_6$

1982

199: 130681c Raman bands and phase transitions in  $(A_xK_{1-x})_2SnCl_6$  solid solutions ( $A = Rb, NH_4$ ). Waschk, V.; Pelzl, J. (Inst. Experimentalphys. VI, Ruhr Univ., 4630 Bochum, 1 Fed. Rep. Ger.). *Raman Spectrosc., Proc. Int. Conf., 8th 1982*, 413-14 (Eng). Edited by Lascombe, Jean; Huong, Pham V. Wiley: Chichester, UK. The phase transitions and Raman spectra were studied for the title solid solns. The Raman spectra at  $0-350\text{ cm}^{-1}$  showed 3 lines of  $A_{1g}$ ,  $E_g$ , and  $T_{2g}$  symmetry due to internal vibrations of  $SnCl_6^{2-}$  and external lattice modes. Substitution of  $NH_4^+$  or  $Rb^+$  for  $K^+$  reduces the phase transition temp.

$T_{tr}$ )

( $Rb_xK_{1-x})_2 SnCl_6$  ( $T_{tr}$ )

c.a. 1983, 99, N16

KCl · SnCl<sub>2</sub>

1983

KCl · 3SnCl<sub>2</sub>

11 Б3106. Конгруэнтно плавящиеся соединения в системе KCl—SnCl<sub>2</sub>. The congruent melting compounds in the system KCl—SnCl<sub>2</sub>. Ichiba Sumio, Iwata Yoshihiko. «Chem. Lett.», 1983, № 12, 1803—1806 (англ.)

С помощью ДТА и ТГА изучены фазовые соотношения в системе KCl (I) — SnCl<sub>2</sub> (II). Приведена равновесная диаграмма плавкости системы I-II. Установлено образование соединений I-II и I-3II с т. пл. 228 и 210° С соотв. и трех эвтектик при 20, 37 и 55 мол. % I с т. пл. 202, 183 и 224° С.

Л. Г. Тутов

Х. 1984, 19, № 11

$KSnCl_3$

$KSn_3Cl_7$

1983

100: 74781k The congruent melting compounds in the system potassium chloride-tin(II) chloride. Ichiba, Sumio; Iwata, Yoshihiro (Fac. Sci., Hiroshima Univ., Higashisenda, Japan 730). *Chem. Lett.* 1983, (12), 1803-6 (Eng). The thermal behavior of the powder mixts. of KCl and  $SnCl_2$  with various molar ratios was studied by thermal anal. The reaction between KCl and  $SnCl_2$  to form the congruent melting compds.,  $KSnCl_3$  and  $KSn_3Cl_7$ , occurred at 190 and 212°, resp. The existence of these compds. in the system KCl-SnCl<sub>2</sub> was indicated in the equil. diagram constructed from the data of the DTA heating-curves in agreement with the previous work.

$T_m$

c.a. 1984, 100, n/10

*SnJ<sub>2</sub>-KJ*

*ОТ 19687*

*1983*

\* 1 Б3266. Термодинамические свойства расплавленной системы SnJ<sub>2</sub>—KJ. Thermodynamic properties of molten SnJ<sub>2</sub>—KJ system. Josiak Jerzy, Pińska Stanisława. «Pol. J. Chem.», 1983, 57, № 4—6, 363—367 (англ.; рез. пол.)

Методом э. д. с. с использованием трех различных концентрац. ячеек исследована расплавленная система SnJ<sub>2</sub>—KJ в т-рных диапазонах 603—885 К, различных для разных составов системы. Для 8 заданных конц-ий получены и табулированы т-рные зависимости э. д. с., а также избыт. парц. термодинамич. функции ( $G^E$ ,  $S^E$  и  $H$ ) SnJ<sub>2</sub> в этих расплавах. С использованием лит. данных обсуждены эффекты замены одного из компонентов (KJ на TiJ, SnJ<sub>2</sub> на PbJ<sub>2</sub>). Приведены концентрац. зависимости ( $G^E$ ,  $S^E$  и  $H$ ). Отмечена возможность образования не отличающегося значительной устойчивостью комплекса SnJ<sub>3</sub><sup>-</sup>. Л. В. Арсеенков

*термохн  
св-ва*

*X. 1985, 19, N 1.*

$\text{SnI}_2 - \text{KI}$

Jan. 19687 1983

101: 12961f Thermodynamic properties of the molten tin(II) iodide-potassium iodide system. Josiak, Jerzy; Plinska, Stanislawa (Sch. Med., Fac. Pharm., 50139 Wroclaw, Pol.). *Pol. J. Chem.* 1983, 57(4-5-6), 363-7 (Eng). Emf. measurements were used to det. the thermodn. properties of molten  $\text{SnI}_2$ -KI mixts. at 603-823 K. The data are compared to the similar data for the  $\text{SnI}_2$ - $\text{TlI}_2$  and  $\text{PbI}_2$ -KI melts and the effect of changes of one of the cations in the system is discussed.

reprints  
CB-fa

C.A. 1984, 101, N 2

K<sub>2</sub>SnCl<sub>6</sub>

1983

12 E622. Параметры кристаллической решетки K<sub>2</sub>SnCl<sub>6</sub> при низких температурах, определенные с помощью рентгеновской дифракции высокого разрешения от монокристаллов. The lattice parameters of K<sub>2</sub>SnCl<sub>6</sub> at low temperatures determinated by high resolution single crystal X-ray diffraction. Куглер В., Кногг К., Рандл В. «Solid State Commun.», 1983, 47, № 3, 163—166 (англ.)

В рентгеновской фокусирующей камере и на двухкриスタльном дифрактометре измерена температурная зависимость параметров кристаллич. решетки K<sub>2</sub>SnCl<sub>6</sub> в интервале от 240 до 300 К. Установлено, что при 250 К соединение имеет элементарную ячейку моноклинной сингонии с параметрами  $a=9,951(2)$  Å,  $b=9,948(2)$  Å,  $c=10,005(2)$  Å,  $\beta=90,099^\circ$ ,  $z=4$ ; при 258 К орторомбическую с параметрами  $a=9,966(2)$  Å,  $b=9,948(2)$  Å,  $c=10,002(2)$  Å,  $z=4$ ; при 280 К кубическую с параметрами  $a=9,986(2)$  Å,  $z=4$ . Высокоразрешающая съемка обнаруживает расщепление и появление сверхструктурных рефлексов в температурной области между 258 и 280 К, что указывает на существ-

Ter)

sp. 1983, 18,  
n112

вование между кубич. и орторомбич. структурами еще  
одной промеж. фазы. Г. В. Фетисов

зото  
ики

*K<sub>2</sub>SnCl<sub>6</sub>*

1983

) 24 Б418. Параметры решетки K<sub>2</sub>SnCl<sub>6</sub> при низких температурах. определенные рентгенографически с высоким разрешением на монокристалльных образцах.  
The lattice parameters of K<sub>2</sub>SnCl<sub>6</sub> at low temperatures determinated by high resolution single crystal X-ray diffraction. Kugler W., Кногг К., Grandl W. «Solid State Commun.», 1983, 47, № 3, 163—166 (англ.)

Проведено прецизионное рентгенографич. исследование (фокусирующая низкот-рная камера и дифрактометр,  $\lambda$ CuK<sub>α</sub>, монокристаллов K<sub>2</sub>SnCl<sub>6</sub> при 300—240 К. Фаза I (выше 265 К) кубич.,  $a$  9,986 Å; III (261,2—254,5 К) ромбич.,  $a$  9,966,  $b$  9,948,  $c$  10,002 Å; IV (250 К) монокл.,  $a$  9,951,  $b$  9,948,  $c$  10,005 Å,  $\beta$  90,099°. В узком интервале (265—261,5 К) обнаружена неизвестная ранее фаза II, исследование к-рой продолжается. Полученные результаты отличаются от предыдущих: ранее для III была установлена тетрагон. симметрия, а параметры IV существенно отличались от найденных в данной работе. З. А. Старикова

*Tz;*

*X. 1983, 19, N 24*

*KSn<sub>2</sub>F<sub>5</sub>*

*1983*

12 Б2038. Структура и проводимость KSn<sub>2</sub>F<sub>5</sub>. Structure and conductivity in KSn<sub>2</sub>F<sub>5</sub>. Vilminot S., Bachmann R., Schulz H. «Solid State Ionics», 1983, 9—10, № 1: Solid State Ionics-83. Proc. 4th Int. Conf., Grenoble, July 4—8, 1983. Pt 1, 559—562 (англ.)

Выполнено рентгеноструктурное исследование синтезированных из водн. р-ра ( $KF + 2SnF_2 \rightarrow KSn_2F_5$ ) пластинчатых кристаллов KSn<sub>2</sub>F<sub>5</sub> (730 отражений, анизотропный МНК до  $R = 0,036$ ). Параметры гексагон. решетки при 20 и 170°С соотв:  $a = 7,291, 4,268$ ,  $c = 9,861, 9,911$  Å,  $V = 454,0, 156,3$  Å<sup>3</sup>,  $Z = 3$  и 1, ф. гр.  $P\bar{3}$  и  $P\bar{3}m1$  или  $P\bar{3}1$ . Структура низкот-рной фазы образована 3 сортами слоев чередующихся вдоль оси  $z$  решетки. На уровне  $z=0$  лежат слои  $[Sn_3F_7]^-$ , при  $z=0,33$  — слои из атомов К и при  $z=0,67$  — слои  $[Sn_3F_8]^{2-}$ . Атомы Sn помещены в искаженные октаэдры (Sn—F = 1,99—

*Структура  
и  
проводимость*

*X. 1984, 19, N 12*

2,45 Å), а атомы K — в десятивершинники (K—F 2,67—3,23 Å). Часть позиций атомов F занята статистически. Предложен вариант путей миграции атомов F при ионной проводимости. Измерена проводимость при 20° С фаз KSn<sub>2</sub>F<sub>5</sub>, RbSn<sub>2</sub>F<sub>5</sub> и TlSn<sub>2</sub>F<sub>5</sub>:  $5 \cdot 10^{-6}$ ,  $2 \cdot 10^{-5}$ ,  $6 \cdot 10^{-4}$  ( $\text{ом}^{-1}\text{см}^{-1}$ ). Ю. А. Малиновский

$K_2SnF_6 \cdot H_2O$

1984

5 Б3205. Фазовые переходы и внутренняя подвижность в гексафторстаннатах щелочных металлов. Афанасьев М. Л., Вахрамеев А. М., Елизарьев Ю. Г., Серышев С. А., Черкасов В. И. «7 Всес. симп. по химии неорган. фторидов, Душанбе, 9—11 окт., 1984. М., 1984, 52

Методами ДТА, рентгенографии, ЯМР при высоких гидростатич. давл., измерением времен релаксации в широком интервале т-р исследованы полиморфные и структурные переходы в гексафторстаннate калия. Установлено, что при дегидратации исходного гексафторстанната калия  $K_2SnF_6 \cdot H_2O$  образуется метастабильная фаза, переходящая в новую стабильную при воздействии давл.  $p \geq 1$  кбар или при нагревании  $> 630$  К. В этой фазе при 580 К обнаружен переход, сопровождающийся появлением диффузионной подвижности атомов фтора. В низкот-рной стабильной фазе  $K_2SnF_6$  имеется два типа октаэдров  $[SnF_6]^{2-}$  с энергией-

Т2;

Х. 1985, 19, N 5

- ми активации реориентац. движения 20,5 и 61 Дж/моль; а в метастабильной — один тип с энергией, равной 20,5 Дж/моль. В исходном  $K_2SnF_6 \cdot H_2O$  методом ЯМР  $^1H$  и  $^{19}F$  при 210К обнаружен еще один фазовый переход, сопровождающийся торможением молекул воды. Вид движения молекул  $H_2O$  в области низких т-р не связан с диффузией или реориентацией вокруг собственных осей 2-го порядка, а по-видимому, представляет собой перескоки молекул воды в двухминимумном Пт с сохранением структурной позиции атома кислорода. Проведенный анализ формы линии и величин хим. сдвигов ЯМР  $^{19}F$  в гексафторстанинатах натрия, рубидия и цезия, а также во всех фазах гексафторстанината калия показал, что строение и характер хим. связей в октаэдрич. анионе  $[SnF_6]^{2-}$  практически не меняются.

По резюме

.ри

*K<sub>2</sub>SnCl<sub>6</sub>*

5 Е646. Колебательный ангармонизм акустической моды вблизи фазового перехода кубического  $K_2SnCl_6$ , индуцированного оптической мягкой модой. Acoustic-mode vibrational anharmonicity near the soft-optic-mode transition of cubic  $K_2SnCl_6$ . Hailing Tu., Saunders G. A., Pelzl J., Wruk N. «J. Phys. C: Solid State Phys.», 1984, 17, № 29, 5121—5136 (англ.)

В кубическом  $K_2SnCl_6$  со структурой типа антифлюорита в интервале т-р от комнатной до точки фазового перехода  $T_{c1} = -10,8^\circ C$ , обусловленного конденсацией оптической вращательной моды, детально определены (УЗ-методами) упругие постоянные 2-го порядка, их производные по гидростатич. давлению и упругие постоянные 3-го порядка. Обнаружено, что при подходе к фазовому переходу ангармонизм акустич. колебаний, в особенности отвечающих сдвиговой волне, поляризованной по [110] и распространяющейся вдоль направления [110], резко усиливается за счет связи между смягчающейся оптич. модой и акустич. модами. Изучение аномального поведения параметров Грюнайзена  $K_2SnCl_6$  свидетельствует о том, что аномалия теплоемкости  $\lambda$ -типа в окрестности  $T_{c1}$  является следствием смягчения акустич. мод. Библ. 28. А. Отко

*Pz;*

*cb. 1985, 18,  
N 5*

4861

K<sub>2</sub>SnF<sub>6</sub>(K) (09.19710)

1984

Hopkins K.B.B., Nelson  
P.F.,

Sci. Soc. Dalton  
Trans., 1984, NF,  
1393 - 1399

K<sub>2</sub>Sn<sub>2</sub>O<sub>3</sub>

1984

16 Б2025. Продукты окисления интерметаллических фаз. III Низкотемпературные формы K<sub>2</sub>Sn<sub>2</sub>O<sub>3</sub> и Rb<sub>2</sub>Sn<sub>2</sub>O<sub>3</sub> и замечания о K<sub>2</sub>Ge<sub>2</sub>O<sub>3</sub>. Oxydationsprodukte intermetallischer Phasen. III. Tieftemperaturformen von K<sub>2</sub>Sn<sub>2</sub>O<sub>3</sub> und Rb<sub>2</sub>Sn<sub>2</sub>O<sub>3</sub> und eine Notiz über K<sub>2</sub>Ge<sub>2</sub>O<sub>3</sub>. Норре Р., Nowitzki В. «Z. anorg. und allg. Chem.», 1984, 509, № 2, 145—152 (нем.; рез. англ.)

Путем контролируемого окисления KSn, RbSn, KPb, RbPb, CsPb, CsSn, KGe в токе O<sub>2</sub> при т-рах 300—410° С получены низкот-рные фазы K<sub>2</sub>Sn<sub>2</sub>O<sub>3</sub> (**Ia**), Rb<sub>2</sub>Sn<sub>2</sub>O<sub>3</sub> (**IIa**), K<sub>2</sub>Pb<sub>2</sub>O<sub>3</sub> (**III**), Rb<sub>2</sub>Pb<sub>2</sub>O<sub>3</sub> (**IV**), Cs<sub>2</sub>Pb<sub>2</sub>O<sub>3</sub> (**V**), Cs<sub>2</sub>Sn<sub>2</sub>O<sub>3</sub> (**VI**) и K<sub>2</sub>Ge<sub>2</sub>O<sub>3</sub> (**VII**). Окисление при более высоких т-рах (510—520°) приводит к известным высокот-рным фазам **Iб**, **IIб**. Проведено рентгенографич. исследование (камера Гинье—Симона, λ Cu) образцов **I**—**VII**. Параметры кубич. решеток **Ia**—**V** и **VII**: 8,339—9,022 Å, ρ<sub>Ia</sub> (выч.) 4,06, σ<sub>Ia</sub> (изм.) 3,98, ρ<sub>IIa</sub> (выч.) 4,70,

(42) 17

Х. 1984, 19, N 16

$\rho_{IIa}$  (изм.) 4,70. Параметры ромбич. решетки VI:  
 $a$  13,664,  $b$  6,093,  $c$  8,924. Параметры решеток I<sub>6</sub> и II<sub>6</sub>:  
 $a$  5,998, 6,088,  $c$  14,343, 15,105 Å,  $\rho_{I_6}$  (выч.) 4,05,  
 $\rho_{I_6}$  (изм.) 3,97,  $\rho_{II_6}$  (выч.) 4,69,  $\rho_{II_6}$  (изм.) 4,69, Z 3.

При синтезе VII в качестве дополнительной образуется монокл. фаза K<sub>6</sub>Ge<sub>2</sub>O<sub>7</sub> с параметрами решетки:  $a$  6,840,  $b$  4,36,  $c$  11,80 Å,  $\beta$  126,72°. Приведены данные  $I$ ,  $d(hkl)$  для Ia, IIa, VII. Рассчитаны маделунговские части энергии решеток Ia и IIa.

В. Б. Калинин

$K_2SnCl_6$

1984

6 Б2023. Термовые колебания в кубической фазе  
 $K_2SnCl_6$ . Thermal vibration in the cubic phase of  $K_2SnCl_6$ .  
Mair S. L. «Solid State Commun.», 1984, 52, № 3,  
335—337 (англ.)

x. 1985, 19, n 6

KSnCl<sub>3</sub>(2)

(dm 24273)

1985

KSnBr<sub>3</sub>(2)

Буреев Г.Г.,

Zp, AfH,

УЗб. СКАНГ БУСС. УРКОДС,  
1985, N 1, 52-55.

AfS;



1985

 $[(\text{NH}_4)_{0,01}\text{K}_{0,99}]_2\text{SnCl}_6$ 

17 Б3163. Исследование методом ЯКР на хлоре-35 смешанных кристаллов  $[(\text{NH}_4)_{0,01}\text{K}_{0,99}]_2\text{SnCl}_6$ . Chlorine-35 NQR studies on  $[(\text{NH}_4)_{0,01}\text{K}_{0,99}]_2\text{SnCl}_6$  mixed crystals. Ishikawa A., Sasane A., Mori Y., Nakamura D. «Z. Naturforsch.», 1986, 41A, № 1—2: Proc. 8th Int. Symp. NQR Spectrosc., Darmstadt, July 22—26, 1985, 326—329 (англ.)

В диапазоне т-р 77—350 К с помощью измерения т-рных зависимостей частот спектров ЯКР  $^{35}\text{Cl}$  исследованы фазовые диаграммы систем  $[(\text{NH}_4)_x\text{K}_{1-x}]_2\text{SnCl}_6$  для  $x=0$  и  $0,01$ . В образце с  $x=0,01$  обнаружено два фазовых перехода при  $T_{c1}=259$  и  $T_{c2}=252$  К, что на 3 К ниже соотв. т-р образца с  $x=0$ . Для серии образцов  $0 < x < 0,032$  с помощью ДСК найдены зависимости т-р переходов  $T_{c1}$  и  $T_{c2}$  от  $x$ , причем эти кривые почти параллельны. Теплота перехода из кубич. в ромбич. фазу при  $T_{c1}$  не зависит от  $x$  и составляет 239 Дж/моль, теплота перехода из ромбич. в монокл. фазу при  $T_{c2}$  на порядок ниже, при  $x=0,032$  переход не идентифицируется. Предложена микроскопич. модель влияния примесей на т-ры переходов.

В. А. Супников

 $T_{c2}, \Delta H_{c2}$ 

X, 1986, 19, N 17

KShY<sub>3</sub>(7) (DM. 21936) 1985

McPhail D.S., Mocking  
M.G. et al.,

$\Delta_{fH}, \Delta_{fS}$  Z. Mater Sci, 1985,  
20, N2, 449-456.

1985

K2SnCl<sub>6</sub>

7 Е612. Высокотемпературные упругие аномалии в соединениях A<sub>2</sub>BX<sub>6</sub>, обусловленные связью с мягкой оптической модой. High temperature elastic anomalies in A<sub>2</sub>BX<sub>6</sub> compounds due to coupling to the optical soft mode / Wruk N., Pelzl J., Höck K.-H., Saunders G. A. // Proc. 2nd Int. Conf. Phonon Phys., Budapest, Aug. 26—31, 1985.— Singapore, 1985.— С. 328—330.— Англ.  
Место хранения ГПНТБ СССР

Соединение K<sub>2</sub>SnCl<sub>6</sub> при  $T_c = 265$  К испытывает фазовое превращение из высокотемпературной кубич. фазы в более низкосимметричную фазу. Переход обусловлен мягкой оптической либрационной модой в Г- или X-точках зоны Бриллюэна (см. Henkel W. et al // Z. Phys.—1980.— B37.— С. 321). Связь между оптическими и акустич. модами колебаний решетки ведет к аномальному смягчению сдвиговых упругих модулей  $C_{44}$  и  $C_E = (C_{11} - C_{12})/2$  при подходе к  $T_c$ . Цель работы — установить, смягчаются ли  $C_{44}$  и  $C_E$  и у других соединений

II  
t<sub>2</sub>

cb. 1989, № 3

типа  $A_2BX_6$  и описывается ли это смягчение теорией связанных мод. Для 6 соединений с разными  $T_c$  методом бриллюэновского рассеяния и ультразвуковым эхопульсным методом измерены скорости звука и определены температурные зависимости  $C_E$  и  $C_{44}$ . У всех соединений они смягчаются при подходе к  $T_c$  и смягчение хорошо описывается теорией связанных мод. Установлена также линейная зависимость между  $T_c$  и дефектом модуля  $\Delta C_E/C_E^*$  при  $T=T_c$ , где  $C_E^*$  — линейно экстраполированное из области высоких т-р к  $T_c$  значение  $C_E$ , а  $\Delta C_E=C_E^*-C_E$ .

В. Прохоров



KSr<sub>2</sub>Cl<sub>3</sub>

1987

Beck H.P., Nau H.

Z. anorg. und allg.

T<sub>m</sub>; Chem., 1987, 554, o11,

43-49.

(ccp. InCl; I)

Kozlowski (on 26873) 1987

Zalewicz et al.,

Thermochim. acta,  
1987, 116, 217-224.

Tz,

*K<sub>2</sub>SnCl<sub>6</sub>*

*1988*

21 Б3180. Наблюдение методом мультиплетной рентгеновской дифракции фазового перехода в монокристалле K<sub>2</sub>SnCl<sub>6</sub>. Observation of phase transition on K<sub>2</sub>SnCl<sub>6</sub> single crystal by multiple diffraction of X-RAYS. Campos C., d'Aguiar Neto M. M. F. «14th Int. Congr. Crystallogr., Perth, 12—20 Aug., 1987. Collect. Abstr.» Nedlands, 1988, 223 (англ.)

При 298 и 263 К методом расщепления мультиплетной (000), (2̄22), (2̄24), (006), (2̄2̄2) и (2̄24) дифракц. линии (угол  $\Delta\beta = 0,493$  ( $\Delta a/a - \Delta c/a$ ) для рентгеновского излучения CuK<sub>α</sub>, исследовано фазовое состояние монокристалла K<sub>2</sub>SnCl<sub>6</sub>. При 263 К наблюдается уширение линии рефлекса (006), связанное с доменной структурой, приобретенной кристаллом вследствие необратимого фазового перехода.

В. А. Ступников

*X. 1988, № 2/*

KShz

Vm. 30 3001

1988

перевод  
СВ-82

Красиль Е.Б.,  
Шибановская Н.Н., Порат-  
ьевский А.П.,

Иж. выст.  
Сурин,  
1988, NY,  
23-24. (см. на вл.)

Терногородские общества  
существуют также с отходом.

1988

K<sub>2</sub>SnAs  
K<sub>6</sub>Sn<sub>3</sub>As<sub>5</sub>

Структура

X. 1988, N 22

22 Б2065. Цинтль-фазы с комплексными анионами: синтез и монокристальное структурное исследование KSnAs и K<sub>6</sub>Sn<sub>3</sub>As<sub>5</sub>. Zintl — phasen mit komplexen anionen: darstellung und einkristallstrukturbestimmung von KSnAs und K<sub>6</sub>Sn<sub>3</sub>As<sub>5</sub>. Klein J., Eisenmann B. «Mater. Res. Bull.», 1988, 23, № 4, 587—594 (нем.; рез. англ.)

Проведен РСТА KSnAs (I) и K<sub>6</sub>Sn<sub>3</sub>As<sub>5</sub> (II, λ Mo, 125, 2788 отражений,  $R$  0,042, 0,075 для I, II, соотв.), полученных из элементов при 920 К в кварцевой ампуле. Параметры гексагон. решетки I:  $a$  410,2,  $c$  1281,6 пм,  $Z$  2,  $\rho$  (выч.) 4,14, ф. гр.  $P\bar{6}_3mc$ . Гофрированные анионные сетки [SnAs]<sup>-</sup><sub>∞3</sub>, изостеричные сеткам в крист. As, чередуются с K<sup>+</sup>. Параметры ромбич. решетки II:  $a$  1480,0,  $b$  1072,8,  $c$  1093,4 пм,  $Z$  4.  $\rho$  (выч.) 3,69, ф. гр.  $Pm\bar{3}n$ . В структуре выделяются анионные цепочки [Sn<sub>3</sub>As<sub>5</sub>]<sup>6-</sup><sub>∞1</sub>, вытянутые вдоль оси  $b$ , где сдвоенные по ребру тетраэдры SnAs<sub>4</sub> сочленяются с тригонально-пирамидальными группами Sn<sub>2</sub>As<sub>6</sub>, к к-рым через свободные As присоединены плоские кольца Sn<sub>2</sub>As<sub>2</sub>. В цепочках КЧ As—2, Sn—3 и 4. Межатомные расстояния: I, II As—Sn 270,0, 259,9—272,7, K—Sn 366,0, 368,4—377,6, K—As 330,2, 329,2—359,3, Sn—Sn в II—298,4 лм.

А. Ю. Шашков

1988

K<sub>4</sub>Sn<sub>3</sub>Se<sub>8</sub>

19 Б2036. Тритетраэдрический селеностаннат-анион  $[Sn_3Se_8]^{4-}$ . Получение и структура  $K_4Sn_3Se_8$ . Das kantenverknüpfte tritetaedrische Selenostannat(IV)-Anion  $[Sn_3Se_8]^{4-}$ . Darstellung und Struktur von  $K_4Sn_3Se_8$ . Sheldrick W. S. «Z. Naturforsch.», 1988, B43, № 3, 249—252 (нем.; рез. англ.)

При взаимодействии  $K_2CO_3$  с Sn и Se при 190° С образуется  $K_4Sn_3Se_8$ , охарактеризованный РСТА ( $\lambda Mo$ , 635 отражений,  $R$  0,056). Кристаллы ромбич.,  $a$  27,766,  $b$  8,191,  $c$  8,187 Å,  $\rho$ (выч) 4,08,  $Z$  4, ф. гр. *Ccca*. Структура построена из катионов  $K^+$  и анионов  $[Sn_3Se_8]^{4-}$ . Анионы состоят из 3 тетраэдров  $SnSe_4$ , имеющих общие ребра. Длины связей  $Sn—Se$  2,47—2,52 Å, углы близки к тетраэдрич. В структуре различают 2 типа координации ионов  $K^+$ . В 1 случае в координации участвуют атомы Se 4 различных анионов  $[Sn_3Se_8]^{4-}$ , образуя координац. полиэдр в виде квадратной антипризмы ( $K...Se$  3,306 и 3,548 Å). Во 2 случае координац. полигидром является тригон. призма и в координации участвуют атомы Se 5 анионов ( $K...Se$  3,438 и 3,363 Å).

М. В. Полякова

Структура

X.1988, 19, № 19

KSn<sub>2</sub>F<sub>5</sub>

1988

24 Б2073. Доказательство новой структурной модификации KSn<sub>2</sub>F<sub>5</sub>. Evidence for a new structural modification in KSn<sub>2</sub>F<sub>5</sub>. Vilminot S., Schulz H. «Acta crystallogr.», 1988, B44, № 3, 233—236 (англ.)

Проведен РСТА новой модификации KSn<sub>2</sub>F<sub>5</sub> (I, λMo, 405 K, МНК, R 0,023, 907 отражений). I тригон.,  $a = 7,330$ ,  $c = 9,900$  Å, Z 3, ρ(изм) 4,01, ρ(выч) 4,017, ф. гр. P $\bar{3}$ . Фазовый переход с изменением  $P3 \rightarrow P\bar{3}$  независимо подтвержден изменением тепловых св-в I. Аномалии в изменении теплоемкости наблюдались при 378 K. В структуре происходит чередование слоев из атомов K и Sn, F. Координац. полиэдр атомов Sn — искаженный октаэдр SnF<sub>5</sub>E, где E — неподеленная электронная пара. Для 2 из 4 кристаллографич. независимых позиций атомов F, установлено статистич. разупорядочение. Вероятность заселения позиции равна 83 и 71%. Проведен расчет ф-ции плотности вероятности, для всех ионов F. Рассмотрены различные механизмы ионного транспорта при комн. т-ре и при 405 K. Г. Д. Илюшин

X. 1988, N 24

*KSn<sub>2</sub>F<sub>5</sub>*

1988

109: 30410v Evidence for a new structural modification in potassium pentafluorodistanate(II). Vilminot, S.; Schulz, H. (Max-Planck Inst. Festkoerperforsch., Stuttgart, Fed. Rep. Ger.). *Acta Crystallogr., Sect. B: Struct. Sci.* 1988, B44(3), 233-6 (Eng). KSn<sub>2</sub>F<sub>5</sub> is trigonal, space group  $P\bar{3}$ , with  $a$  7.330(1) and  $c$  9.900(2) Å;  $d_m = 4.01$  and  $d_c = 4.017$  for  $Z = 3$  at 408 K. The final  $R = 0.026$  and  $R_w = 0.023$  for 907 reflections. At. coordinates are given. A phase transition between room temp. and 408 K was revealed by structure refinement and confirmed by sp. heat measurements, which showed an anomaly at 378 K. The structure consists of a succession of layers in the  $c$ -axis direction. Evolution of the F distribution between room temp. and 408 K is discussed. The conduction mechanism was detd. from calcns. of probability d. functions.

( $P\bar{3}$ ,  $C_p$ )

C. A. 1988, 109, N 4

$K_2SnCl_6$

1990

Janiak T., Nikel I.,  
et al.

mpmoxim. J. Therm. Anal. 1990,  
36 (6), 2205-10.

(ccl.  $Li_2SnCl_6$ ;  $\overline{I}$ )

K<sub>2</sub>SnBi

1992

10 Б2017. Кристаллическая структура K<sub>2</sub>SnBi. Crystal structure of high temperature thallium lead antimony sulfide, Tl<sub>0,333</sub>Sb<sub>0,333</sub>S /Asbrand M., Eisenmann B. //Z. Kristallogr. — 1992 . — 198 , № 3 — 4 . — С. 283 — 284 . — Англ.

Проведен РСТА (293 К, λ Mo, 933 независимых отражения, R 0,064) серебристых металловидных пластинчатых кристаллов K<sub>2</sub>SnBi, синтезир. в эвакуир. кварцевых ампулах из расплава стехиометрич. кол-в высоко чистых элементов. Параметры ромбич. решетки: a 6,804, b 13,393, c 6,499 Å, V 522,2,  $\bar{Z} = 4$ , ф. гр. Pbct. Структура состоит из зигзагообразных цепочек из чередующихся атомов Sn и Bi (Sn—Bi 3,034 Å), SnBiSn и BiSnBi 64,8° и 112,8° соотв. Каждый атом Sn имеет дополнительно двух соседей (Sn) с линейной координацией на расстоянии 3,249 Å.

Н. Л. Смирнова

X. 1993, N 10

K. O. Klepp  
K. O. Klepp

1994

10 Б2011. Селеностаннаты щелочей со смешанной валентностью. Кристаллические структуры  $K_2Sn_4Se_8$ ,  $Rb_2Sn_4Se_8$ ,  $Cs_2Sn_4Se_8$ . Mixed valent alkali selenostannates: the crystal structures of  $K_2Sn_4Se_8$ ,  $Rb_2Sn_4Se_8$  and  $Cs_2Sn_4Se_8$  /Klepp K. O., Fabian F. //15th Eur. Crystallogr. Meet. (ECM—15), Dresden, 28 Aug. — 2 Sept., 1994: Book Abrstr. — München, 1994.—С. 626.—Англ.

Проведен синтез  $K_2Sn_4Se_8$  (I),  $Rb_2Sn_4Se_8$  (II),  $Cs_2Sn_4Se_8$  (III) р-цией стехиометрич. смесей моноселенидов щелочей с Sn и Se при 800° С. Кристаллы I—II темно-красные, чувствительны к воздуху и влаге. Методом РСТА определена структура I—III ( $R = 0,022, 0,042, 0,035$ ). Параметры монокл. решетки I—III:  $a = 6,436, 7,557, 7,606$ ,  $b = 18,934, 19,52, 19,69$ ,  $c = 7,415, 12,40, 12,79$  Å,  $\beta = 96,26, 95,40, 95,60^\circ$ ,  $Z = 2, 4, 4$ , ф. гр.  $Cm$ ,  $P2_1/n$ ,  $P2_1/n$ . В структурах атомы олова имеют две валентности. Атомы  $Sn^{4+}$  находятся в тетраэдрах, атомы  $Sn^{2+}$  — в псевдо-тригонально-бипирамидах.

(f2)

X



X. 1995, N 10

ной координации,  $\text{SnSe}_4\text{F}$  с одной неподеленной парой электронов с экваториальной позиции. В I тетраэдры, сочлененные вершинами, образуют слои, к-рые соединены  $\text{Sn}^{2+}$  с образованием каркаса с большими каналами, заселенными ионами К. В II и III, однако,  $\text{SnSe}_4$ -тетраэдры образуют бесконечные цепи, соединяясь ребрами и вершинами, которые, в свою очередь, сочленены  $\text{Sn}^{2+}$  с образованием бесконечных слоев, разделенных щелочными катионами.

Н. Л. Смирнова